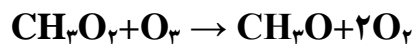




محاسبه ثابت سرعت گرمایی برای فاز گازی واکنش:



ایمان خسروی*، شفیع کیوان

دانشگاه آزاد اسلامی، واحد قشم، دانشکده علوم پایه، گروه شیمی، قشم، ایران

تاریخ ثبت اولیه: ۱۳۹۰/۶/۱۷، تاریخ دریافت نسخه اصلاح شده: ۱۳۹۰/۸/۲۵، تاریخ پذیرش قطعی: ۱۳۹۰/۹/۱۴

چکیده

ثابت سرعت واکنش $\text{CH}_3\text{O}_2 + \text{O}_3 \rightarrow \text{CH}_3\text{O} + 2\text{O}_2$ بین دماهای ۲۹۸/۱۵ تا ۲۷۷۳/۱۵ کلون و فشار ۱ اتمسفر، در فاز گازی با نظریه حالت گذار بررسی شده است. مواد واکنش دهنده، فرآورده‌ها و حدواسط با سه روش HF، MP۲ و B۳LYP و ۶ مجموعه پایه با استفاده از برنامه GAUSSIAN۰۳ بهینه شده‌اند.

همچنین اثر تونل زنی مکانیک کوانتومی در ثابت سرعت لحاظ شده است. ثابت سرعت به دست آمده، در سطح محاسباتی B۳LYP/cc-pDVZ با داده‌های تجربی موجود مطابقت خوبی را نشان داده است. بر اساس نتایج بدست آمده ثابت سرعت بین دمای ۲۹۸/۱۵ تا

$$k(T) = (3.6618 \times 10^{-31}) T^{5.8999} \exp(-4738.02/T) \text{ cm}^3 \cdot \text{molecule}^{-1} \cdot \text{s}^{-1}$$

۲۷۷۳/۱۵ به صورت زیر با دما تغییر می‌کند: اثر بازدارندگی NO بر روی واکنش $\text{CH}_3\text{O}_2 + \text{O}_3 \rightarrow \text{P}$ نیز بررسی شده است. نتایج نشان می‌دهند که مولکول NO مطابق واکنش زیر، رادیکال CH_3O_2 را از بین می‌برد: $\text{CH}_3\text{O}_2 + \text{NO} \rightarrow \text{CH}_3\text{O} + \text{NO}_2$ در واقع، NO نقش یک بازدارنده را بازی می‌کند.

واژه‌های کلیدی: اوزون، رادیکال متیل پروکسی، *Ab initio* بازدارنده، ثابت سرعت.

*عهده دار مکاتبات: ایمان خسروی

نشانی: قشم- دانشگاه آزاد اسلامی- گروه شیمی- صندوق پستی: ۷۹۵۱۵/۱۳۹۳

تلفن: ۰۹۱۶۳۴۴۸۲۱۷ پست الکترونیکی: ImanKhosravi59@yahoo.com

۱. مقدمه

رادیکال هیدروکسیل (OH) یکی از مهمترین واکنش دهنده‌های فضاشیمیایی در هواکره است. رادیکال هیدروکسیل بوسیله‌ی واکنش‌های مولکول‌های آب با اوزون تشکیل می‌شود و به سرعت، با مقدار ناچیزی از مولکول‌های گازی محیط واکنش می‌دهد. چنین واکنش‌هایی، واکنش‌های شیمیایی زنجیره‌ای در اتمسفر را آغاز می‌کنند. اتم هیدروژن جدا شده بوسیله رادیکال OH نقش مهمی در تخریب انواع ترکیب‌های آلی فرار (VOCs) در اتمسفر دارد [۱]. ترکیب‌های آلی فرار (VOCs) در اتمسفر حاصل فعالیت موجودات زنده‌اند، که آلکان‌ها طبقه مهمی از آنها هستند. آلکان‌ها از سوخت‌های بنزینی و گازوئیلی و سائل نقلیه و هم چنین تجزیه حلال‌های آلکانی در اتمسفر رها می‌شوند [۱].

در مجاورت نور خورشید یک آلکان با هیدروکسیل واکنش می‌دهد و یک هیدروژن از آلکان جدا می‌شود و فرآورده، رادیکال آلکیل و آب است [۲-۵]:



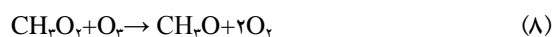
سپس رادیکال آلکیل (O) بدست آمده با O_2 تا تشکیل پروکسیل (ROO) واکنش می‌دهد. طی بررسی اکسیداسیون متان که شامل رادیکال‌ها، یون‌ها و مولکول‌های گوناگون است، رادیکالی به نام میتل پروکسی ($CH_3\dot{O}$) وجود دارد، که نقش مهمی در واکنش‌های حدواسط در شیمی اتمسفری ایفا می‌کند. این ترکیب، رادیکالی فعال است که مسئول تشکیل اوزون در نواحی شهری استرادیکال‌های آلی پروکسی (RO_2) (R یک گروه آلکیل یا آسیل است)، در تولید اوزون در تروپوسفر از طریق برهم کنش با گونه‌های نیتروژن فعال اهمیت دارند [۳-۴ و ۶-۱۰].



تحت شرایطی از مقادیر کم NO_x ($x=2,1$)، برای نمونه در تروپوسفر، واکنش رادیکال‌های HO_2 می‌تواند، باعث کاهش عمده‌ای در O_3 شود [۳ و ۱۱].



بنابراین، بسته به میزان NO_x ، رادیکال پروکسی یک منبع تولید، یا عاملی برای از بین رفتن O_3 است. واکنش میتل پروکسی با اوزون برای نخستین بار توسط Simonaitis و Heicklen مورد بررسی قرار گرفته است و فرآورده‌هایی شبیه به فرآورده‌های واکنش (۷) به دست آمده است [۱۳-۱۲ و ۳]:



۲. روش محاسباتی

تمام داده‌ها با استفاده از برنامه GAUSSIAN03 به دست آمده است. ساختار واکنش دهنده‌ها، فرآورده‌ها و حالت گذار (TS) بطور کامل در روش‌های MP2.HF و B3LYP و با ۶ مجموعه پایه-۶- $31+G(d,P)$ و $6-31+G(d)$ و $6-31+G(d,P)$ و $ang-cc-pVDZ$ بهینه شده‌اند. هم چنین برای رادیکال‌ها از توابع موج نامحدود با لایه باز (Unrestricted Open-Shell Wave functions) استفاده شده است.

۳. نتایج و بحث

بررسی‌های انجام شده در این پروژه شامل ۶ مرحله به شرح زیر است:

۱- مطالعه و بررسی واکنش‌های اکسایش متان

۲- بهینه‌سازی ساختارهای مواد واکنش دهنده و فرآورده در واکنش

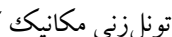


۳- تعیین، بهینه‌سازی و بررسی ساختار حالت گذار

۴- محاسبه خطای انطباق مجموعه پایه (BSSE)

۵- بررسی ثابت سرعت واکنش $CH_2\dot{O}+2O_2 \rightarrow CH_2O_2+O_3$ با استفاده از نظریه‌ی حالت گذار (TST)، با در نظر گرفتن اثر تونل‌زنی مکانیک کوانتومی

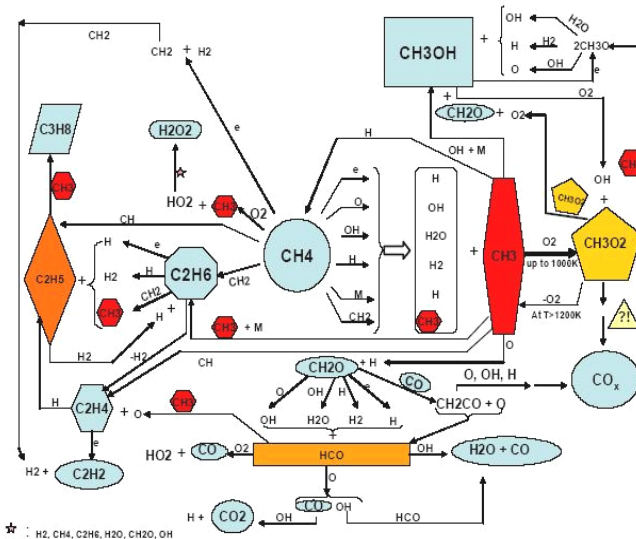
۶- بررسی اثر بازدارندگی مولکول‌های NO ، بر روی واکنش



۳-۱. مطالعه و بررسی واکنش‌های اکسایش متان

در اینجا واکنش اکسایش متان در جهتی بررسی شده است که به رادیکال متیل پروکسی (CH₃O₂) هدایت می‌شود.

علت عمده‌ی مطالعه واکنش‌های متان، بررسی مسیرهای گوناگون و تولید مواد مفید از مواد اولیه غیرمفید یا کم‌کاربرد است. در نمودار زیر تعدادی از مسیرهای گوناگون اکسایش متان نشان داده شده است.



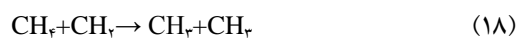
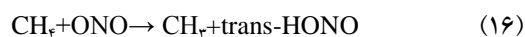
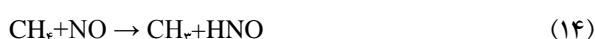
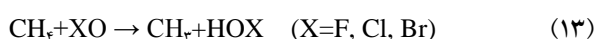
شکل ۱- نمودار نمایش مکانیسم شیمیایی اکسیداسیون متان.

همانگونه که نشان داده شده است، رادیکال متیل پروکسی یکی از فرآورده‌های واکنش اکسایش متان و ماده اولیه برای تشکیل بسیاری از مواد مفید و کاربردی در صنعت است.

رادیکال متیل پروکسی براساس واکنش‌های زیر حاصل می‌شود [۲۰-۱۴ و ۳]:

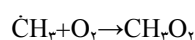


یکی از مسیرهای اکسایش متان، هدایت متان به سوی رادیکال متیل (CH₃•) است، که در واکنش‌های زیر نشان داده شده است [۲۳-۲۰]:



این واکنش‌ها از مکانیسم‌های گوناگون (بعنوان نمونه، از طریق واکنش‌های جانشینی، واکنش‌های رادیکالی و غیره)، واکنش متان را به سوی رادیکال متیل پیش می‌برند.

سپس رادیکال متیل در واکنش با O₂ به سوی رادیکال متیل پروکسی پیش می‌رود [۳]:



واکنش رادیکال متیل با مولکول اکسیژن در احتراق و تخریب متان در تروپوسفر و استراتوسفر اهمیت دارد. این واکنش سه مولکولی در محدوده‌ی دمایی و فشاری، با انرژی فعال سازی نزدیک به صفر به دست می‌آید [۱۹].



متعاقب آن رادیکال متیل پروکسی، با خود واکنشی یا واکنش با گونه‌های اتمسفری، مانند O₃، NO، NO₂، SO₂ موضوع‌های جالب سینتیکی را بوجود می‌آورند [۱۸-۱۶].

رادیکال‌های پروکسی حدواسط‌های مهمی، در بسیاری از واکنش‌ها در نور شیمی، پرتو شیمی، شیمی اتمسفری و احتراق هستند. به دلیل افزایش در تولید و تبدیل انرژی و نتایج کاربرد رادیکال‌های پروکسی، نیاز شدید به طراحی مکانیسم‌ها و ثابت سرعت دقیق برای واکنش‌های رادیکالی از این نوع افزایش می‌یابد [۴].

همانگونه که بیان شد، این فرآیندها به طور عمده با حمله‌ی رادیکال هیدروکسیل آغاز می‌شوند. به عنوان نمونه، یک اتم هیدروژن جدا می‌شود، و رادیکال آلکیل تشکیل می‌شود و متعاقب آن مولکول اکسیژن افزایش می‌یابد. رادیکال‌های آلکیل پروکسی عموماً واکنش‌پذیری کم‌تری نسبت به مولکول‌های لایه بسته، نشان می‌دهند و سپس، با خودشان و با دیگر گونه‌های رادیکالی واکنش می‌دهند [۲۴ و ۵].

چنین اوزون یک مولکول قطبی با گشتاور دو قطبی $0.5337D$ است [۲۵]. رادیکال متوکسی دارای تقارن C_s است (شکل ۲ ج). این مولکول حدواسطی ارزنده برای تولید الکلها و آلدهیدها و بسیاری از مواد صنعتی پر کاربرد است [۲۶].

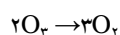
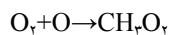
رادیکال متیل پروکسی همانند متوکسی دارای تقارن C_s است (شکل ۲ د). همچنین این رادیکال یک هسته دوست ضعیف است، زیرا در اکسیژن خود یک الکترون کم دارد.

ساختارهای بهینه شده مواد اولیه (CH_2O_2 , O_3) و فرآورده‌ها (CH_2O , O_3) در جدول‌های (۱)، (۲) و (۳) خلاصه شده‌اند و با داده‌های تجربی موجود مقایسه شده‌اند [۲۶].

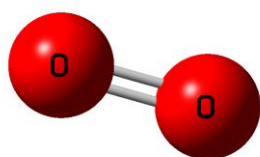
۲-۳. بهینه‌سازی ساختارهای مواد واکنش‌دهنده و فرآورده در



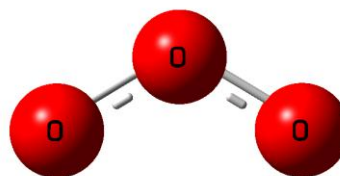
همانگونه که در شکل ۲ الف دیده می‌شود، مولکول اکسیژن دارای تقارن $D_{\infty h}$ است، که بسته به شرایط محیطی، هم اوزون تولید می‌کند و هم از اوزون تولید می‌شود [۱۵].



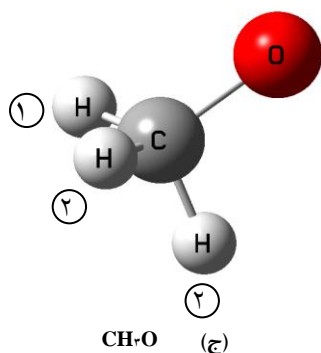
ساختار اوزون براساس مدارک و شواهد تجربی از طیف بینی ریزموج، با تقارن C_{2v} (شبه مولکول آب)، فاصله $O-O$ ، $125/1$ پیکومتر و زاویه $O-O-O$ ، $116/78$ درجه دارد. اتم مرکزی با هیبریداسیون sp^2 ، با یک جفت الکترون تشکیل شده است، هم



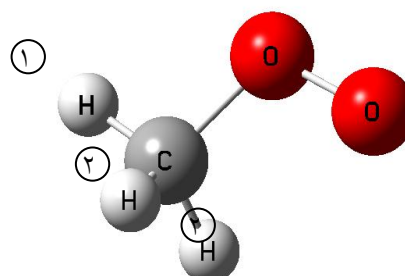
O_2 (الف)



O_3 (ب)



CH_2O (ج)



CH_3O_2 (د)

شکل ۲- شمایی از مواد اولیه و فرآورده‌ها. (الف) مولکول اکسیژن (O_2), (ب) مولکول اوزون (O_3), (ج) رادیکال متوکسی (CH_2O), (د) رادیکال متیل پروکسی (CH_3O_2).

جدول ۱ - مشخصات ساختارهای بهینه شده مواد اولیه و فرآورده‌ها در روش HF.

گونه و مختصات	HF						داده تجربی
	6-31+G(d)	6-31++G(p,d)	6-311+G(d)	6-311++G(p,d)	cc-pVDZ	Aug-cc-pVDZ	
O ₂							
r(OO)	۱/۱۶۹۱	۱/۱۶۹۱	۱/۱۵۸۳	۱/۱۵۸۳	۱/۱۵۹۱	۱/۱۶۲۴	۱/۲۰۷۵
O ₃							
r(OO)	۱/۲۰۳۵	۱/۲۰۳۵	۱/۱۹۴۱	۱/۱۹۴۱	۱/۱۹۶۷	۱/۱۹۶۵	۱/۲۵۱
θ(OOO)	۱۱۹/۱۸۷۹	۱۱۹/۱۸۷۹	۱۱۹/۳۹۸۷	۱۱۹/۳۹۸۷	۱۱۸/۹۹۴۳	۱۱۸/۹۶۴۱	۱۱۶/۷۸
CH ₃ O							
r(CO)							
r(CH ₁)	۱/۳۸۳۵	۱/۳۸۳۷	۱/۳۷۸۵	۱/۳۷۹۹	۱/۳۷۸۷	۱/۳۸۳۹	
r(CH ₂)	۱/۰۸۸۰	۱/۰۸۸۶	۱/۰۸۸۵	۱/۰۸۹۴	۱/۰۹۵۷	۱/۰۹۴۴	
θ(H ₁ CO)	۱/۰۸۵۰	۱/۰۸۵۶	۱/۰۸۵۱	۱/۰۸۶۳	۱/۰۹۳۴	۱/۰۹۱۴	
θ(H ₂ CO)	۱۰۵/۹۸۱۱	۱۰۵/۹۹۵۰	۱۰۶/۱۵۳۵	۱۰۶/۰۶۹۸	۱۰۶/۰۲۳۲	۱۰۵/۹۵۳۵	
	۱۱۱/۳۱۷۸	۱۱۱/۳۸۴۹۹	۱۱۱/۴۹۲۷	۱۱۱/۵۰۸۵	۱۱۱/۸۸۲۹	۱۱۱/۴۳۱۳	
CH ₃ O ₂							
r(OO)							
r(CO)	۱/۲۹۹۷	۱/۲۹۹۶	۱/۲۹۰۱	۱/۲۹۰۱	۱/۲۸۹۹	۱/۲۹۲۴	
r(CH ₁)	۱/۴۱۷۸	۱/۴۱۸۳	۱/۴۱۴۹	۱/۴۱۴۹	۱/۴۱۶۵	۱/۴۲۰۸	
r(CH ₂)	۱/۰۷۹۹	۱/۰۸۰۵	۱/۰۷۹۵	۱/۰۷۹۵	۱/۰۸۰۷	۱/۰۸۶۲	
θ(COO)	۱/۰۸۰۸	۱/۰۸۱۵	۱/۰۸۱۰	۱/۰۸۱۰	۱/۰۸۲۳	۱/۰۸۷۱	
θ(H ₁ CO)	۱۱۱/۱۶۴۳	۱۱۱/۱۹۵۱	۱۱۱/۵۶۹۰	۱۱۱/۵۶۹۰	۱۱۱/۵۹۶۷	۱۱۱/۰۲۵۰	
θ(H ₂ CO)	۱۰۵/۴۵۴۲	۱۰۵/۴۷۱۲	۱۰۵/۶۲۲۰	۱۰۵/۶۲۲۰	۱۰۵/۶۰۰۶	۱۰۵/۶۶۰۱	
	۱۰۹/۸۶۲۹	۱۰۹/۹۰۳۲	۱۰۹/۹۸۳۵	۱۰۹/۹۸۳۵	۱۰۹/۹۶۹۷	۱۰۹/۸۰۶۹	

* طول پیوندها بر حسب Å و زاویه‌ها بر حسب درجه گزارش شده است. [۱۵، ۲۵]

جدول ۲ - مشخصات ساختارهای بهینه شده مواد اولیه و فرآورده‌ها در روش MP₂.

گونه و مختصه	MP ₂				داده تجربی
	6-31+G(d)	6-31++G(p,d)	6-311+G(d)	cc-pVDZ	
O ₂					
r(OO)	۱/۲۴۶۴	۱/۲۴۶۴	۱/۲۲۳۶	۱/۲۲۲۱	۱/۲۰۷۵
O ₃					
r(OO)	۱/۳۰۰۶	۱/۳۰۰۶	۱/۲۸۱۹	۱/۲۸۹۳	۱/۲۵۱
θ(OOO)	۱۱۶/۴۹۳۶	۱۱۶/۴۹۳۶	۱۱۷/۰۶۰۶	۱۱۶/۶۲۸۷	۱۱۶/۷۸

ادامه جدول ۲.

CH ₃ O					
r(CO)					
r(CH ₁)	۱/۳۹۰۳	۱/۳۸۸۸	۱/۳۷۸۵	۱/۳۷۸۸	
r(CH ₂)	۱/۱۰۱۵	۱/۰۹۷۱	۱/۰۸۸۱	۱/۱۱۰۹	
θ(H\CO)	۱۰۴/۶۲۵۶	۱/۰۹۱۲	۱/۰۸۵۱	۱/۱۰۶۴	
θ(HrCO)	۱۱۱/۹۳۷۳	۱۰۴/۶۲۲۳	۱۰۶/۱۵۳۵	۱۰۵/۰۵۰۵	
		۱۱۲/۱۱۱۰	۱۱۱/۴۹۲۷	۱۱۳/۱۵۰۱	
CH ₃ O ₂					
r(OO)					
r(CO)					
r(CH ₁)	۱/۳۱۲۰	۱/۳۱۲۴	۱/۲۹۴۸	۱/۳۰۱۷	
r(CH ₂)	۱/۴۵۷۴	۱/۴۵۵۴	۱/۴۴۷۲	۱/۴۴۴۹	
θ(COO)	۱/۰۸۹۳	۱/۰۸۵۴	۱/۰۸۷۹	۱/۰۹۸۳	
θ(H\CO)	۱/۰۸۹۵	۱/۰۸۵۷	۱/۰۸۸۷	۱/۰۹۹۲	
θ(HrCO)	۱۱۰/۵۴۲۹	۱۱۰/۴۸۳۶	۱۱۱/۱۲۳۹	۱۱۰/۲۸۴۳	
	۱۰۴/۷۷۷۲	۱۰۴/۸۷۴۹	۱۰۵/۱۹۱۲	۱۰۵/۵۵۷۷	
	۱۰۸/۵۷۲۷	۱۰۸/۶۵۰۹	۱۰۸/۸۴۷۹	۱۰۹/۳۸۹۳	

* طول پیوندها بر حسب Å و زاویه ها بر حسب درجه گزارش شده است. [۱۵، ۲۵]

جدول ۳- مشخصات ساختارهای بهینه شده مواد اولیه و فرآورده‌ها در روش B₃LYP.

گونه و مختصه	B ₃ LYP						داده تجربی
	6-31+G(d)	6-31++G(p,d)	6-311+G(d)	6-311++G(p,d)	cc-pVDZ	Aug-cc-pVDZ	
O ₂							
r(OO)	۱/۲۱۵۲	۱/۲۱۵۲	۱/۲۰۵۷	۱/۲۰۵۷	۱/۲۰۸۶	۱/۲۰۸۵	۱/۲۰۷۵
O ₃							
r(OO)	۱/۲۶۳۴	۱/۲۶۳۴	۱/۲۵۶۲	۱/۲۵۶۲	۱/۲۵۹۷	۱/۲۵۶۵	۱/۲۵۱
θ(OOO)	۱۱۸/۱۳۸۶	۱۱۸/۱۳۸۶	۱۱۸/۴۶۱۷	۱۱۸/۴۶۱۷	۱۱۷/۹۸۴۸	۱۱۸/۰۷۱۴	۱۱۶/۷۸
CH ₃ O							
r(CO)							
r(CH ₁)	۱/۳۷۱۰	۱/۳۷۰۹	۱/۳۶۴۴	۱/۳۶۶۰	۱/۳۶۳۵	۱/۳۶۸۳	
r(CH ₂)	۱/۱۱۱۰	۱/۱۱۰۵	۱/۱۰۹۲	۱/۱۰۹۹	۱/۱۱۸۸	۱/۱۱۵۹	
θ(H\CO)	۱/۱۰۲۲	۱/۱۰۱۵	۱/۰۹۹۷	۱/۱۰۰۲	۱/۱۱۱۷	۱/۱۰۶۲	
θ(HrCO)	۱۰۵/۱۰۵۳	۱۰۵/۱۴۷۰	۱۰۵/۳۵۴۴	۱۰۵/۲۲۶۲	۱۰۵/۲۷۶۶	۱۰۵/۰۹۰۱	
	۱۱۳/۰۰۵۲	۱۱۳/۱۳۳۹	۱۱۳/۱۴۰۵	۱۱۳/۲۲۲۲	۱۱۴/۰۵۰۳	۱۱۳/۱۵۳۲	
CH ₃ O ₂					۱/۳۱۷۴		

ادامه جدول ۳.

r(OO)	۱/۳۲۳۳	۱/۳۲۳۳	۱/۳۱۷۷	۱/۳۱۷۵	۱/۴۴۷۰	۱/۳۱۷۰
r(CO)	۱/۴۵۰۶	۱/۴۵۱۳	۱/۴۴۷۹	۱/۴۴۹۹	۱/۰۹۸۵	۱/۴۴۹۰
r(CH ₁)	۱/۰۹۱۹	۱/۰۹۱۲	۱/۰۸۸۹	۱/۰۸۹۲	۱/۰۹۹۹	۱/۰۸۹۰
r(CH ₂)	۱/۰۹۲۵	۱/۰۹۱۹	۱/۰۸۹۸	۱/۰۹۰۲	۱۱۰/۸۳۷۰	۱/۰۹۰۰
θ(COO)	۱۱۱/۳۰۸۸	۱۱۱/۳۰۳۴	۱۱۱/۶۴۶۷	۱۱۱/۶۸۵۲	۱۰۵/۵۹۹۱	۱۱۱/۱۹۹۹
θ(H ₁ CO)	۱۰۵/۲۱۹۲	۱۰۵/۳۰۰۱	۱۰۵/۳۶۹۴	۱۰۵/۳۶۸۲	۱۰۹/۲۶۴۰	۱۰۵/۴۹۹۹
θ(H ₂ CO)	۱۰۸/۹۳۰۲	۱۰۸/۹۷۸۹	۱۰۹/۰۱۸۰	۱۰۸/۹۹۸۵		۱۰۹/۰۰۰۰

* طول پیوندها بر حسب Å و زاویه ها بر حسب درجه گزارش شده است. [۱۵، ۲۵].

(۴)، (۵) و (۶) نشان داده شده‌اند. (ضریب‌های مقیاس مربوط به هر سطح محاسباتی در فرکانس‌ها و انرژی‌ها لحاظ شده است [۳۴-۲۷].

همانگونه که ملاحظه می‌شود، روش B3LYP، ساختارهای بهتری نسبت به روش‌های HF و MP2 در مقایسه با داده‌های تجربی برای دو مولکول O₂ و O₃ پیش‌بینی می‌کند.

فرکانس‌ها بر حسب (cm⁻¹) و انرژی نقطه صفر (ZPE) بر حسب (kcal.mol⁻¹) برای هر یک از مواد اولیه و فرآورده‌ها در جدولهای

جدول ۴- فرکانس‌ها و انرژی نقطه صفر (ZPE) برای هر یک از مواد اولیه و فرآورده‌ها در روش HF.

گونه‌ها	HF					
	6-31+G(d)	6-31++G(p,d)	6-311+G(d)	6-311++G(p,d)	cc-pVDZ	Aug-cc-pVDZ
O ₂						
فرکانس	۱۷۷۶/۷۸۲۳	۱۷۸۶/۶۶۴	۱۷۹۳/۴۷	۱۸۰۳/۳۹	۱۸۱۳/۷۳۱	۱۸۰۲/۰۷۹
ZPE	۲/۵۲۳	۲/۵۲۳	۲/۵۳۲	۲/۵۳۲	۲/۶۲۸	۲/۶۱۰
O ₃						
فرکانس‌ها	۷۶۲/۰۲۸۸ ۱۲۸۲/۷۵۶ ۱۳۷۸/۹۳۷	۶۶۲/۷۲۷۱ ۱۱۰۱/۹۱۶ ۱۱۳۶/۴۹۹	۷۸۶/۰۲۵۷ ۱۲۷۳/۲۱۸ ۱۳۹۱/۰۶۳	۷۶۰/۳۷۳۲ ۱۲۸۰/۲۶ ۱۳۹۸/۷۵۷	۷۸۷/۸۵۳۲ ۱۲۹۳/۱۶۶ ۱۳۹۲/۶۳۸	۷۹۲/۷۰۴۷ ۱۲۹۷/۴۰۲ ۱۴۰۴/۳۵۳
ZPE	۴/۰۹۶	۴/۰۹۶	۴/۸۷۲	۴/۸۷۲	۵/۰۳۳	۵/۰۶۲
CH ₂ O						
فرکانس‌ها	۷۱۹/۰۷۸۸ ۹۹۱/۴۲۹۲ ۱۰۸۴/۲۰۶ ۱۴۱۷/۹۹۴ ۱۴۲۶/۰۷۹ ۱۴۹۰/۳۵۲ ۲۸۶۱/۷۶۳ ۲۹۲۲/۲۳۹ ۲۹۴۰/۶۲۹	۷۱۹/۸۰۴۸ ۹۹۰/۲۹۳۲ ۱۰۸۵/۶۴۸ ۱۴۱۰/۴۵۱ ۱۴۱۴/۳۷۳ ۱۴۸۳/۷۴۷ ۲۸۵۴/۴۱۱ ۲۹۱۷/۷۱۹ ۲۹۳۵/۷۲۸	۷۲۳/۹۰۰۱ ۹۹۷/۳۶۹۱ ۱۰۹۱/۸۸۲ ۱۴۱۸/۰۸۶ ۱۴۲۶/۱۴۶ ۱۴۹۱/۷۳۴ ۲۸۵۵/۱۶۵ ۲۹۱۲/۹۷۹ ۲۹۳۱/۲۵۶	۷۲۹/۴۱۳۸ ۹۹۳/۳۴۴۴ ۱۰۹۰/۵۰۵ ۱۴۱۱/۲۲۱ ۱۴۱۴/۵۷۶ ۱۴۸۵/۲۲۲ ۲۸۵۳/۱۷۹ ۲۹۱۱/۶۹۹ ۲۹۲۹/۸۴۷	۷۳۹/۷۶۸۱ ۹۸۶/۹۳۹۳ ۱۰۸۸/۹۸۳ ۱۳۹۱/۵۳۶ ۱۳۹۵/۹۳۷ ۱۴۶۹/۳۹۵ ۲۸۵۷/۹۴۹ ۲۹۲۵/۷۵۳ ۲۹۴۱/۸۵۲	۷۲۲/۳۵۸ ۹۸۳/۸۸۴۴ ۱۰۸۲/۸۲۱ ۱۳۹۰/۵۱۶ ۱۳۹۳/۲۴۸ ۱۴۶۴/۶۲۶ ۲۸۶۲/۳۴۲ ۲۹۲۸/۱۳۲ ۲۹۴۷/۴۶۲

ادامه جدول ۴.

ZPE	۲۲/۵۱۲	۲۲/۳۲۹	۲۲/۳۸۱	۲۲/۲۱۶	۲۲/۸۹۲	۲۲/۸۵۴
CH ₂ O ₂	۱۶۶/۷۹۵۳	۱۶۰/۳۲۸۷	۱۶۹/۵۴۰۸	۱۶۴/۰۰۷۹	۱۶۵/۴۳۱۵	۱۶۳/۶۰۷۷
فرکانس‌ها	۴۸۰/۹۶۳۲	۴۸۲/۷۸۵۵	۴۸۷/۰۳۳۶	۴۸۷/۸۵۴۴	۴۸۷/۹۲۴۴	۴۸۸/۹۹۰۵
	۹۵۱/۸۴۱۳	۹۵۴/۱۰۳۳	۹۶۰/۶۴۶۲	۹۶۲/۲۰۵۶	۹۵۸/۲۴۲۵	۹۵۵/۴۳۷۹
	۱۱۴۸/۲۰۱	۱۱۴۴/۸۴۷	۱۱۵۵/۵۰۸	۱۱۴۸/۵۱۳	۱۱۳۶/۸۴۲	۱۱۳۸/۵۹۴
	۱۱۵۱/۳۹۵	۱۱۵۶/۶۶۲	۱۱۶۸/۲۲۳	۱۱۷۲/۶۸۸	۱۱۵۱/۳۲۶	۱۱۶۰/۴۶۵
	۱۲۰۵/۰۹	۱۲۰۴/۸۹۷	۱۲۱۷/۶۸۱	۱۲۱۴/۵۶۸	۱۱۹۷/۳۲۸	۱۲۰۴/۸۱۱
	۴۴۵/۱۷	۱۴۴۰/۷۲۹	۱۴۴۷/۷۳۲	۱۴۴۳/۰۸۲	۱۴۲۳/۵۶۶	۱۴۲۵/۶۰۶
	۱۴۶۲/۷۶	۱۴۵۳/۷۶۵	۱۴۶۴/۲۱۷	۱۴۵۴/۹۱۱	۱۴۳۴/۸۹۱	۱۴۳۶/۲۴۹
	۱۴۷۵/۶۰۱	۱۴۶۸/۶۵۸	۱۴۷۷/۴۷۵	۱۴۶۹/۹۸۶	۱۴۴۹/۹۷۹	۱۴۴۸/۸۸۱
	۲۹۱۵/۹۶۸	۲۹۰۷/۶۲۱	۲۹۰۸/۱۱۷	۲۹۰۵/۳۱۵	۲۹۱۴/۰۲۲	۲۹۱۶/۳۰۹
	۲۹۹۳/۸۸۳	۲۹۸۸/۳۹۳	۲۹۸۳/۴۷۴	۲۹۸۰/۷۷۲	۳۰۰۰/۰۳۸	۳۰۰۰/۹۶۱
	۳۰۰۶/۴۶۳	۳۰۰۱/۸۷۳	۳۰۰۰/۵۸۸	۲۹۹۸/۸۷۲	۳۰۱۹/۰۳۹	۳۰۱۳/۱۳۵
ZPE	۲۶/۱۳۳	۲۵/۹۳۴	۲۶/۰۴۰	۲۵/۸۴۵	۲۶/۵۷۴	۲۶/۵۸۸

جدول ۵- فرکانس‌ها و انرژی نقطه صفر (ZPE) برای هر یک از مواد اولیه و فرآورده‌ها در روش MP₂.

گونه‌ها	MP ₂			
	6-31+G(d)	6-31++G(p,d)	6-311+G(d)	cc-pVDZ
O ₂				
فرکانس	۱۳۲۹/۵۴۴	۱۳۲۶/۷۲۴	۱۳۸۳/۴۸۱	۱۳۵۶/۱۱۲
ZPE	۱/۹۷۳	۱/۹۷۳	۲/۰۳۸	۱/۹۹۱
O ₃				
فرکانس‌ها	۶۸۳/۷۴۵۳	۶۸۲/۲۹۵۲	۷۱۲/۲۳۹۱	۷۰۵/۲۷۹۱
	۱۰۹۵/۸۳۵	۱۰۹۳/۵۱۱	۱۱۰۵/۸۹۴	۱۱۰۶/۴۱۱
	۲۲۶۱/۳۵۱	۲۲۵۶/۵۵۵	۲۱۷۸/۵۲۷	۲۱۸۵/۲۸۹
ZPE	۵/۹۹۷	۵/۹۹۷	۵/۸۸۷	۵/۸۶۹
CH ₂ O				
فرکانس‌ها	۷۷۷/۱۹۹۹	۷۷۵/۵۲۲۳	۷۶۰/۷۳۵	۷۸۵/۳۹۰۲
	۹۳۴/۳۳۸۵	۹۲۶/۶۵۹۲	۱۰۴۸/۱۲	۹۳۰/۵۸۰۶
	۱۰۶۳/۳۴۷	۱۰۶۱/۸۹۸	۱۱۴۷/۴۴۲	۱۰۸۶/۳۹۳
	۱۳۷۲/۹۳۳	۱۳۶۲/۷۱۳	۱۴۹۰/۲۴۶	۱۳۳۵/۲۷۵
	۱۳۸۲/۳۵۲	۱۳۶۹/۴۶۵	۱۴۹۸/۷۱۵	۱۳۴۹/۷۵۳
	۱۴۷۶/۰۰۴	۱۴۷۳/۰۶۸	۱۵۶۷/۶۴۱	۱۴۵۸/۰۴۲
	۲۸۶۸/۹۷۳	۲۸۸۴/۵۹۹	۳۰۰۰/۴۵	۲۸۷۳/۵۸
	۲۹۵۳/۴۲۷	۲۹۷۲/۴۵۲	۳۰۶۱/۲۰۶	۲۹۵۷/۲۱
	۲۹۸۷/۹۳۲	۳۰۰۶/۴۲۷	۳۰۸۰/۴۱۳	۲۹۸۶/۱۴

ZPE	۲۳/۴۷۴	۲۳/۵۴۷	۲۴/۵۳۶	۲۳/۱۴۸
CH ₃ O ₂				
فرکانس‌ها	۱۲۲/۰۱۸۴	۱۱۵/۶۲۱۱	۱۲۹/۰۵۲۱	۱۳۷/۲۸۰۴
	۴۷۳/۴۶۵۵	۴۷۱/۴۱۶۴	۴۸۶/۷۵۲۲	۴۸۶/۹۹۱۶
	۸۹۲/۱۲۸	۸۹۲/۳۴۴۷	۹۱۳/۸۳۶۶	۹۲۳/۲۵۴۱
	۱۰۹۵/۲۸۶	۱۰۸۷/۸۲۵	۱۱۰۸/۲۴	۱۰۸۹/۹۳
	۱۱۴۲/۲۷۵	۱۱۳۷/۲۱۱	۱۱۵۷/۹۹	۱۱۴۴/۱۵۱
	۱۱۹۷/۸۰۲	۱۱۹۳/۹۱۳	۱۲۲۲/۰۸۹	۱۲۰۰/۵۰۹
	۱۴۰۶/۶۱۵	۱۴۰۱/۲۴۹	۱۴۱۶/۷۲۱	۱۳۸۷/۵۹۳
	۱۴۳۸/۱۷	۱۴۳۲/۶۲۹	۱۴۳۸/۰۶	۱۴۱۰/۹۸۳
	۱۴۵۰/۴۳۳	۱۴۴۷/۶۷	۱۴۴۹/۰۰۹	۱۴۲۱/۹۸۸
	۲۹۵۵/۶۵	۲۹۶۴/۹۷۲	۲۹۵۳/۹۴۴	۲۹۶۲/۴۱
	۳۰۶۸/۹۱۱	۳۰۸۲/۶۳۵	۳۰۶۴/۶۳۶	۳۰۷۶/۶۷۶
	۳۰۷۴/۷۱۴	۳۰۸۹/۶۰۲	۳۰۷۵/۷۶۸	۳۰۹۰/۲۲۳
ZPE	۲۷/۱۸۶	۲۷/۲۴۳	۲۷/۱۳۰	۲۶/۹۲۱

جدول ۶- فرکانس‌ها و انرژی نقطه صفر (ZPE) برای هر یک از مواد اولیه و فرآورده‌ها در روش B3LYP.

گونه‌ها	B3LYP					
	6-31+G(d)	6-31++G(p,d)	6-311+G(d)	6-311++G(p,d)	cc-pVDZ	Aug-cc-pVDZ
O ₂						
فرکانس	۱۵۷۵/۵۹۸	۱۵۸۲/۱۶۳	۱۵۷۷/۹۱۱	۱۵۷۹/۵۴۴	۱۵۷۹/۹۵۱	۱۵۹۶/۶۸۷
ZPE	۲/۲۹۹	۲/۲۵۴	۲/۲۶۴	۲/۲۸۳	۲/۲۸۳	۲/۳۰۳
O ₃						
فرکانس‌ها	۷۰۳/۷۸۱	۷۰۶/۷۱۳۴	۷۲۱/۱۵۰۵	۷۲۱/۸۹۷	۷۲۰/۴۹۰۶	۷۲۵/۰۰۴۴
	۱۱۷۰/۱۷۷	۱۱۷۵/۰۵۲	۱۱۴۲/۸۰۸	۱۱۴۳/۹۹۱	۱۱۶۶/۷۶	۱۱۷۴/۶۵۴
	۱۲۰۶/۹۰۲	۱۲۱۱/۹۳	۱۲۰۳/۰۶۶	۱۲۰۴/۳۱۱	۱۲۱۶/۹۰۵	۱۲۲۴/۳۸۵
ZPE	۴/۴۹۵	۴/۴۰۸	۴/۴۰۲	۴/۴۳۸	۴/۴۳۲	۴/۵۰۵
CH ₃ O						
فرکانس‌ها	۶۹۳/۱۷۶۱	۶۸۱/۱۱۵۷	۶۷۳/۹۰۹۸	۶۷۲/۹۶۷	۷۱۰/۶۱۶۸	۶۵۴/۷۳۳۱
	۹۳۳/۷۵۷۵	۹۲۶/۹۴۸۸	۹۳۹/۵۸۳۳	۹۲۵/۶۲۴۲	۹۲۳/۹۳۹۴	۹۱۸/۲۱۹۶
	۱۰۷۰/۷۲۶	۱۰۷۱/۳۵۴	۱۰۷۳/۰۲۲	۱۰۶۵/۸۶۹	۱۰۸۳/۹۸۸	۱۰۷۰/۵۱۱
	۱۳۲۷/۸۹۶	۱۳۱۱/۹۴۸	۱۳۳۲/۰۲۶	۱۳۰۹/۲۹۹	۱۲۹۸/۶۷۹	۱۲۸۶/۰۰۲
	۱۳۳۵/۲۱۹	۱۳۲۲/۲۹۹	۱۳۳۶/۸۴۸	۱۳۱۹/۶۶۴	۱۲۹۹/۱۷۷	۱۲۹۲/۱۶۵
	۱۴۶۹/۹۵۷	۱۴۶۲/۵۱۸	۱۴۷۲/۲۳۸	۱۴۵۹/۵۷۹	۱۴۴۹/۱۴۲	۱۴۳۶/۱۲۱
	۲۸۰۰/۱۶۲	۲۸۰۳/۱۸	۲۷۹۸/۹۳۸	۲۷۹۲/۵۶۲	۲۷۹۷/۹۳۷	۲۸۰۴/۵۸۲
	۲۸۷۶/۱۵۹	۲۸۷۹/۰۹۴	۲۸۷۲/۵۳۳	۲۸۶۶/۶۷۵	۲۸۶۰/۶۸۴	۲۸۸۲/۸۲۷
	۲۹۱۵/۱۹۶	۲۹۲۱/۳	۲۹۱۴/۹۵۷	۲۹۰۹/۵۱۹	۲۹۰۰/۳۱۱	۲۹۳۰/۹۰۵
ZPE	۲۲/۵۰۶	۲۱/۹۱۷	۲۲/۱۲۶	۲۲/۱۵۲	۲۱/۸۸۲	۲۲/۰۳۴

ادامه جدول ۶.

CH ₂ O ₂						
فرکانس‌ها	۱۳۲/۴۶۸۴	۱۲۶/۹۴۲۳	۱۳۶/۶۳۲۱	۱۲۷/۶۶۵۴	۱۳۲/۹۹۳۱	۱۲۸/۴۵۵۵
	۴۷۲/۰۴۸۷	۴۷۲/۶۳۴۵	۴۷۵/۴۲۴۳	۴۷۳/۹۳۳۴	۴۷۸/۶۴۲۵	۴۷۶/۳۱۶۹
	۸۸۲/۶۱۰۸	۸۸۲/۵۱۰۶	۸۸۳/۷۰۹	۸۷۹/۰۵۵۲	۸۹۱/۴۰۹۵	۸۸۲/۷۱۳۸
	۱۰۹۰/۲۹۱	۱۰۸۵/۸۳۸	۱۰۹۸/۸۷۶	۱۰۸۶/۲۸۲	۱۰۷۴/۴۷۶	۱۰۷۷/۹۱۶
	۱۱۱۲/۸۱۴	۱۱۱۳/۹۳۲	۱۱۱۲/۶۵۲	۱۱۱۰/۳۷۵	۱۱۱۸/۴۸۹	۱۱۱۵/۰۹۱
	۱۱۷۵/۸۰۹	۱۱۷۵/۴۴۸	۱۱۸۲/۱۸۲	۱۱۷۴/۷۷۸	۱۱۶۶/۸۹	۱۱۷۴/۸۲۱
	۱۳۹۷/۹۹۸	۱۳۹۲/۵۳۵	۱۴۰۴/۷۴۸	۱۳۹۴/۲۱	۱۳۷۲/۸۷۷	۱۳۷۱/۷۶۸
	۱۴۳۲/۲۲۸	۱۴۲۱/۶۶۶	۱۴۳۵/۵۷۵	۱۴۲۰/۲۴۷	۱۳۹۶/۳۲۹	۱۳۹۶/۷۸۳
	۱۴۴۱/۹۴۱	۱۴۳۲/۸۳۱	۱۴۴۵/۱۵۹	۱۴۳۱/۶۰۲	۱۴۰۸/۵۷۱	۱۴۰۷/۶۸۷
	۲۹۵۱/۶۶۶	۲۹۵۲/۶۶۷	۲۹۵۳/۶۱۹	۲۹۴۸/۴۱۶	۲۹۵۲/۷	۲۹۵۸/۴۷۱
	۳۰۴۲/۵۷۶	۳۰۴۷/۴۶۹	۳۰۴۳/۱۲۲	۳۰۳۶/۶۹۶	۳۰۴۸/۹۶۸	۳۰۵۴/۶۳۸
	۳۰۵۳/۷۴۴	۳۰۵۹/۰۹۶	۳۰۵۷/۴۷۱	۳۰۵۲/۱۵۹	۳۰۶۷/۱۲۶	۳۰۷۰/۷۲۶
ZPE	۲۶/۵۴۰	۲۵/۸۸۵	۲۶/۱۶۷	۲۶/۲۲۰	۲۵/۸۵۹	۲۶/۱۲۰

توابع تقسیم برای حرکت‌های انتقالی، ارتعاشی، چرخشی و الکترونی در جدول (۷)، (۸) و (۹) ارائه شده‌اند.

جدول ۷- توابع تقسیم برای حرکت‌های انتقالی، ارتعاشی، چرخشی و الکترونی در روش HF.

گونه‌ها	HF					
	6-31+G(d)	6-31++G(p,d)	6-311+G(d)	6-311++G(p,d)	cc-pVDZ	Aug-cc-pVDZ
O ₂						
تابع‌های تقسیم ارتعاشی	۰/۱۸۹۲۸۸	۰/۲۱۰۶۰۲	۰/۱۵۳۴۶۹	۰/۱۵۱۷۹۴	۰/۱۵۲۷۶۲	۰/۱۵۰۹۰۴
	۰/۰۵۹۵۶۹	۰/۰۷۰۳۳۵	۰/۰۴۶۳۸۹	۰/۰۴۵۶۰۴	۰/۰۴۴۲	۰/۰۴۳۷۴۹
	۰/۰۵۴۴۸۵	۰/۰۶۴۶۵۴	۰/۰۳۴۸۷۴	۰/۰۳۴۲۳۱	۰/۰۳۴۷۴۱	۰/۰۳۳۷۷
تابع تقسیم انتقالی	۱/۳۱×۱۰ ^۷	۱/۳۱×۱۰ ^۷	۱/۳۱×۱۰ ^۷	۱/۳۱×۱۰ ^۷	۱/۳۱×۱۰ ^۷	۱/۳۱×۱۰ ^۷
تابع تقسیم چرخشی	۳/۲۲×۱۰ ^۳	۳/۲۲×۱۰ ^۳	۲/۷۰×۱۰ ^۳	۲/۷۰×۱۰ ^۳	۲/۷۲×۱۰ ^۳	۲/۷۲×۱۰ ^۳
تابع تقسیم الکترونی	۱	۱	۱	۱	۱	۱
CH ₂ O ₂		۱/۲۶۰۴۹				
تابع‌های تقسیم ارتعاشی	۱/۲۰۹۱۶۱	۰/۳۴۵۴۷۱	۱/۱۸۸۵۲۶	۱/۲۳۰۸۰۲	۱/۲۱۹۶۶	۱/۲۳۳۹۶۸
	۰/۳۴۷۳۴	۰/۱۰۱۰۰۲	۰/۳۴۱۲۰۱	۰/۳۴۰۳۸۴	۰/۳۴۰۳۱۴	۰/۳۳۹۲۵۷
	۰/۱۰۱۵۶۶	۰/۰۶۳۳۵۴	۰/۰۹۹۳۸۸	۰/۰۹۹۰۰۸	۰/۰۹۹۹۷۸	۰/۱۰۰۶۷۱
	۰/۰۶۲۹۹۲	۰/۰۶۱۵۵۹	۰/۰۶۱۷۳۲	۰/۰۶۲۷۹۱	۰/۰۶۴۶	۰/۰۶۴۳۲۵
	۰/۰۶۲۳۵۳	۰/۰۵۴۷۵۱	۰/۰۵۹۸۵۳	۰/۰۵۹۲۰۷	۰/۰۶۲۳۶۳	۰/۰۶۰۹۹۲
	۰/۰۵۴۷۲۶	۰/۰۳۰۹۲۶	۰/۰۵۳۰۷۸	۰/۰۵۳۴۸۱	۰/۰۵۵۷۶۷	۰/۰۵۴۷۶۳
	۰/۰۳۰۵۹۶	۰/۰۲۹۹۶۷	۰/۰۳۰۴۰۷	۰/۰۳۰۷۵۱	۰/۰۳۲۲۳۷	۰/۰۳۲۰۷۸
	۰/۰۲۹۳۲۲	۰/۰۲۸۹۰۷	۰/۰۲۹۲۱۹	۰/۰۲۹۸۸۴	۰/۰۳۱۳۶۶	۰/۰۳۱۲۶۳
	۰/۰۲۸۴۲۶	۰/۰۰۰۸۹۶	۰/۰۲۸۲۹۷	۰/۰۲۸۸۱۴	۰/۰۳۰۲۴۲	۰/۰۳۰۳۲۳
	۰/۰۰۰۸۷۸	۰/۰۰۰۷۳۷	۰/۰۰۰۸۹۵	۰/۰۰۰۹۰۱	۰/۰۰۰۸۸۲	۰/۰۰۰۸۷۸

ادامه جدول ۷.

	۰/۰۰۰۷۲۸ ۰/۰۰۰۷۰۶	۰/۰۰۰۷۱۴	۰/۰۰۰۷۴۶ ۰/۰۰۰۷۱۶	۰/۰۰۰۷۵۱ ۰/۰۰۰۷۱۹	۰/۰۰۰۷۱۷ ۰/۰۰۰۶۸۵	۰/۰۰۰۷۱۵ ۰/۰۰۰۶۹۵
تابع تقسیم انتقالی	$1/27 \times 10^7$	$1/27 \times 10^7$	$1/27 \times 10^7$	$1/27 \times 10^7$	$1/27 \times 10^7$	$1/27 \times 10^7$
تابع تقسیم چرخشی	$1/0.8 \times 10^4$	$1/0.8 \times 10^4$	$1/0.7 \times 10^4$	$1/0.7 \times 10^4$	$1/0.8 \times 10^4$	$1/0.8 \times 10^4$
تابع تقسیم الکترونی	۲	۲	۲	۲	۲	۲

جدول ۸ - توابع تقسیم برای حرکت‌های انتقالی، ارتعاشی، چرخشی و الکترونی در روش MP۲.

گونه‌ها	MP۲			
	6-31+G(d)	6-31++G(p,d)	6-311+G(d)	cc-pVDZ
O_p				
تابع‌های تقسیم ارتعاشی	۰/۱۹۹۳۶۷	۰/۲۰۰۱۲	۰/۱۸۵۲۰۷	۰/۱۸۸۵۵۸
	۰/۰۷۱۳۸۵	۰/۰۷۱۷۹۱	۰/۰۶۹۶۵۶	۰/۰۶۹۵۶۸
	۰/۰۰۴۲۶۴	۰/۰۰۴۳۱۳	۰/۰۰۵۲۰۷	۰/۰۰۵۱۲۳
تابع تقسیم انتقالی	$1/31 \times 10^7$	$1/31 \times 10^7$	$1/31 \times 10^7$	$1/31 \times 10^7$
تابع تقسیم چرخشی	$3/22 \times 10^3$	$3/55 \times 10^3$	$3/39 \times 10^3$	$3/45 \times 10^3$
تابع تقسیم الکترونی	۱	۱	۱	۱
CH_2O_p				
تابع‌های تقسیم ارتعاشی	۱/۵۳۷۶۲۱	۱/۷۶۸۷۸۸	۱/۵۷۹۶۸۶	۱/۴۸۱۸۶۸
	۰/۳۵۶۵۸۳	۰/۳۵۷۲۵۳	۰/۳۴۱۴۸۲	۰/۳۴۱۲۴۳
	۰/۱۲۰۵۲۴	۰/۱۱۷۶۴۹	۰/۱۱۱۵۵۲	۰/۱۰۸۹۸۵
	۰/۰۷۲۳۵۷	۰/۰۷۲۷۹۳	۰/۰۶۹۲۵۹	۰/۰۷۲۴۲
	۰/۰۶۸۴۹۲	۰/۰۶۴۵۴۲	۰/۰۶۱۳۶۱	۰/۰۶۳۴۶۱
	۰/۰۵۸۷۶	۰/۰۵۶۲۳۱	۰/۰۵۲۵۱۴	۰/۰۵۵۳۳۸
	۰/۰۳۴۲۹۳	۰/۰۳۴۰۲۵	۰/۰۳۲۷۷۵	۰/۰۳۵۱۶۸
	۰/۰۳۱۵۶۹	۰/۰۳۱۵۳۸	۰/۰۳۱۱۲۷	۰/۰۳۳۲۳۳
	۰/۰۳۰۸۳۶	۰/۰۳۰۴۱۲	۰/۰۳۰۳۱۳	۰/۰۳۲۲۳۶
	۰/۰۰۰۸۰۶	۰/۰۰۰۷۸	۰/۰۰۰۸۰۱	۰/۰۰۰۷۸۵
	۰/۰۰۰۶۴۷	۰/۰۰۰۵۸۷	۰/۰۰۰۶۱۴	۰/۰۰۰۵۹۶
	۰/۰۰۰۶۳	۰/۰۰۰۵۷۸	۰/۰۰۰۵۹۷	۰/۰۰۰۵۷۷
تابع تقسیم انتقالی	$1/27 \times 10^7$	$1/27 \times 10^7$	$1/27 \times 10^7$	$1/27 \times 10^7$
تابع تقسیم چرخشی	$1/13 \times 10^4$	$1/13 \times 10^4$	$1/11 \times 10^4$	$1/12 \times 10^4$
تابع تقسیم الکترونی	۲	۲	۲	۲

جدول ۹- توابع تقسیم برای حرکت‌های انتقالی، ارتعاشی، چرخشی و الکترونی در روش B³LYP.

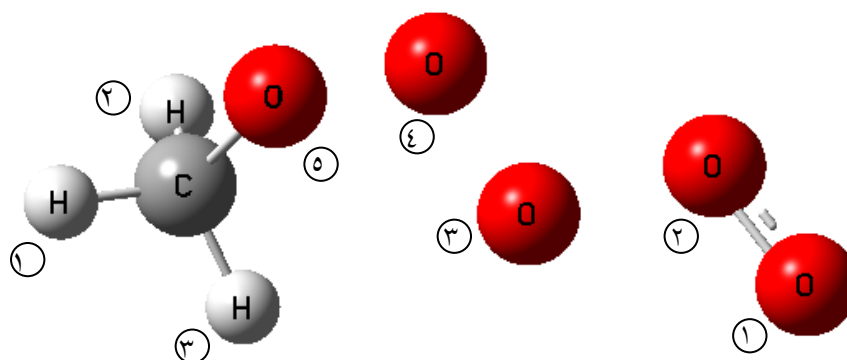
گونه‌ها	B ³ LYP					
	6-31+G(d)	6-31++G(p,d)	6-311+G(d)	6-311++G(p,d)	cc-pVDZ	Aug-cc-pVDZ
O ₃						
تابع‌های تقسیم ارتعاشی	۰/۱۸۹۲۸۸	۰/۱۸۷۸۶۲	۰/۱۸۱۰۱۳	۰/۱۸۰۶۶۷	۰/۱۸۱۳۲	۰/۱۷۹۲۳۲
	۰/۰۵۹۵۶۹	۰/۰۵۸۸۶۸	۰/۰۶۳۶۶۹	۰/۰۶۳۴۸۶	۰/۰۶۰۰۶۶	۰/۰۵۸۹۲۵
	۰/۰۵۴۴۸۵	۰/۰۵۳۸۲۴	۰/۰۵۴۹۹۵	۰/۰۵۴۸۲۹	۰/۰۵۳۱۷۸	۰/۰۵۲۲۲۲
تابع تقسیم انتقالی	۱/۳۱×۱۰ ^۷	۱/۳۱×۱۰ ^۷	۱/۳۱×۱۰ ^۷	۱/۳۱×۱۰ ^۷	۱/۳۱×۱۰ ^۷	۱/۳۱×۱۰ ^۷
تابع تقسیم چرخشی	۳/۲۲×۱۰ ^۳	۳/۲۲×۱۰ ^۳	۳/۲۲×۱۰ ^۳	۳/۲۲×۱۰ ^۳	۳/۲۰×۱۰ ^۳	۳/۱۷×۱۰ ^۳
تابع تقسیم الکترونی	۱	۱	۱	۱	۱	۱
CH ₂ O ₂						
تابع‌های تقسیم ارتعاشی	۱/۵۳۷۶۲۱	۱/۶۰۶۷۷۶	۱/۴۸۹۱۵۴	۱/۵۹۷۳۹۳	۱/۵۳۱۳۴۸	۱/۵۸۷۲۵۷
	۰/۳۵۶۵۸۳	۰/۳۵۵۹۶۵	۰/۳۵۳۰۳۹	۰/۳۵۴۵۹۹	۰/۳۴۹۷۰۳	۰/۳۵۲۱۱
	۰/۱۲۰۵۲۴	۰/۱۲۰۵۵۴	۰/۱۲۰۱۹۶	۰/۱۲۱۵۹۳	۰/۱۱۷۹۲۲	۰/۱۲۰۴۹۴
	۰/۰۷۲۳۵۷	۰/۰۷۳۱۴۶	۰/۰۷۰۸۵۸	۰/۰۷۳۰۶۷	۰/۰۷۵۲۰۳	۰/۰۷۴۵۷۴
	۰/۰۶۸۴۹۲	۰/۰۶۸۳۰۵	۰/۰۶۸۵۱۹	۰/۰۶۸۹	۰/۰۶۷۵۵۱	۰/۰۶۸۱۱۳
	۰/۰۵۸۷۶	۰/۰۵۸۸۱۱	۰/۰۵۷۸۵۷	۰/۰۵۸۹۰۷	۰/۰۶۰۰۴۷	۰/۰۵۸۹۰۱
	۰/۰۳۴۲۹۳	۰/۰۳۴۷۴۹	۰/۰۳۳۷۳۸	۰/۰۳۴۶۰۹	۰/۰۳۶۴۴۲	۰/۰۳۶۵۴
	۰/۰۳۱۵۶۹	۰/۰۳۲۳۸۵	۰/۰۳۱۳۱۴	۰/۰۳۲۴۹۷	۰/۰۳۴۴۳۲	۰/۰۳۴۳۹۴
	۰/۰۳۰۸۳۶	۰/۰۳۱۵۲۲	۰/۰۳۰۵۹۷	۰/۰۳۱۶۱۶	۰/۰۳۳۴۲۷	۰/۰۳۳۴۹۹
	۰/۰۰۰۸۰۶	۰/۰۰۰۸۰۴	۰/۰۰۰۸۰۲	۰/۰۰۰۸۱۲	۰/۰۰۰۸۰۴	۰/۰۰۰۷۹۳
	۰/۰۰۰۶۴۷	۰/۰۰۰۶۳۹	۰/۰۰۰۶۴۶	۰/۰۰۰۶۵۶	۰/۰۰۰۶۳۷	۰/۰۰۰۶۲۹
۰/۰۰۰۶۳	۰/۰۰۰۶۲۱	۰/۰۰۰۶۲۴	۰/۰۰۰۶۳۲	۰/۰۰۰۶۱	۰/۰۰۰۶۰۵	
تابع تقسیم انتقالی	۱/۲۷×۱۰ ^۷	۱/۲۷×۱۰ ^۷	۱/۲۷×۱۰ ^۷	۱/۲۷×۱۰ ^۷	۱/۲۷×۱۰ ^۷	۱/۲۷×۱۰ ^۷
تابع تقسیم چرخشی	۱/۱۴×۱۰ ^۴	۱/۱۴×۱۰ ^۴	۱/۱۴×۱۰ ^۴	۱/۱۴×۱۰ ^۴	۱/۱۴×۱۰ ^۴	۱/۱۴×۱۰ ^۴
تابع تقسیم الکترونی	۲	۲	۲	۲	۲	۲

همانگونه که جدول‌های بالا نشان می‌دهند، مولکول اوزون با تقارن C_{2v}، دارای ساختار رزونانسی زیر است. و رادیکال متیل پروکسی و رادیکال متوکسی، همانطور که در شکل ۲ نیز نشان داده شده است، دارای تقارن Cs هستند.

۳-۳. تعیین، بهینه سازی و بررسی ساختار حالت گذرا

در رابطه با مسایل سینتیکی، دانستن این مطلب که پیکربندی یک ساختار در تبدیل از نقطه‌ی حداقل انرژی به نقطه‌ی حداقل انرژی دیگر، چگونه تغییر می‌کند و به عبارتی این تغییرها از چه مسیری عبور می‌کنند، ضمن اینکه در این راستا چه مقدار تغییر در انرژی بوجود می‌آید، مهم است. برای تشخیص و تعیین حالت گذار، در مواردی که ساختار حالت گذار مشخص است و از شکل آن اطمینان داریم، بعد از بهینه کردن ساختار، انرژی و سایر دانسته‌های حالت گذار را به دست می‌آوریم و با مقایسه آنها با مقادیر انرژی نقاط حداقل، سد انرژی‌ها به راحتی قابل محاسبه هستند. اما همیشه مسئله به این سادگی نیست و ساختار حالت گذار را نمی‌توان به سادگی پیش‌بینی کرد.

بنابراین در اینجا برای بررسی مسیر واکنش‌ها، محاسبه‌های مختصه ذاتی واکنش (IRC) به کار می‌رود. در روش IRC از وجود حالت گذار حدس زده شده در مسیر ذاتی واکنش، اطمینان حاصل می‌شود، که با استفاده از ساختار حالت گذار، مسیر واکنش در هر دو جهت رفت و برگشت برای دستیابی به ساختارهای با انرژی حداقل بررسی می‌شود. چنانچه نتایج این محاسبه‌ها به واکنش-دهنده‌ها و فرآورده‌های مورد نظر برسد، اطمینان حاصل خواهد شد که مکانیسم پیشنهادی و ساختار حالت گذار حدسی، برای واکنش مورد نظر صادق است. ساختار حالت گذار در اینجا بهینه شده است که پارامترهای ساختاری، فرکانس‌ها، انرژی نقطه‌ی صفر (ZPE) و توابع تقسیم آن با روش‌های MP۲،HF و B۳LYP در جدول‌های زیر خلاصه شده‌اند.



شکل ۳- شمایی از ساختار حالت گذار. در این ساختار طول پیوند اکسیژن‌های ۱، ۲ و اکسیژن‌های ۳، ۴ در حال کم شدن است و پیوند اکسیژن‌های ۲، ۳ و اکسیژن‌های ۴، ۵ در حال تفکیک هستند، که نشان دهنده تشکیل دو مولکول اکسیژن و یک رادیکال متوکسی است.

جدول ۱۰- مشخصات ساختار بهینه شده حالت گذار در روش HF.

گونه و مختصه	HF					
	6-31+G(d)	6-31++G(p,d)	6-311+G(d)	6-311++G(p,d)	cc-pVDZ	Aug-cc-pVDZ
TS						
r(O1O2)						
r(O2O3)						
r(O3O4)						
r(O4O5)						
r(CO5)	۱/۲۸۴۴	۱/۲۸۴۴	۱/۲۷۵۵	۱/۲۷۵۵	۱/۲۷۹۰	۱/۲۷۶۰
r(CH1)	۱/۳۶۰۴	۱/۳۶۰۳	۱/۳۵۰۰	۱/۳۵۰۰	۱/۳۵۹۸	۱/۳۵۵۳
r(CH2)	۱/۴۰۶۴	۱/۴۰۶۵	۱/۳۹۶۸	۱/۳۹۶۹	۱/۴۰۷۵	۱/۴۰۱۳
r(CH3)	۱/۳۵۶۵	۱/۳۵۶۴	۱/۳۴۶۵	۱/۳۴۶۴	۱/۳۵۲۸	۱/۳۵۰۹
r(CH3)	۱/۴۱۵۳	۱/۴۱۵۸	۱/۴۱۲۶	۱/۴۱۴۱	۱/۴۱۳۲	۱/۴۱۷۴
θ(O1O2O3)	۱/۰۸۰۲	۱/۰۸۰۷	۱/۰۷۹۶	۱/۰۸۰۸	۱/۰۸۷۰	۱/۰۸۶۱
θ(O2O3O4)	۱/۰۸۱۱	۱/۰۸۱۷	۱/۰۸۱۱	۱/۰۸۲۴	۱/۰۸۸۷	۱/۰۸۷۲
θ(O3O4O5)	۱/۰۸۰۹	۱/۰۸۱۶	۱/۰۸۱۰	۱/۰۸۲۳	۱/۰۸۸۶	۱/۰۸۷۱
θ(O3O4O5)	۱۰۹/۶۱۲۳	۱۰۹/۶۱۱۲	۱۰۹/۹۵۷۴	۱۰۹/۶۹۱۲	۱۰۹/۴۱۵۱	۱۰۹/۳۶۹۷
θ(O4O5C)	۱۰۳/۶۴۷۸	۱۰۳/۶۵۹۰	۱۰۴/۰۱۳۰	۱۰۴/۰۲۳۷	۱۰۳/۶۰۸۱	۱۰۳/۴۲۵۲
θ(O4O5C)	۱۰۳/۷۴۵۲	۱۰۳/۷۴۶۰	۱۰۴/۲۰۰۵	۱۰۴/۲۰۶۱	۱۰۳/۷۳۱۳	۱۰۳/۷۴۹۵
θ(O5CH1)	۱۰۹/۱۲۸۶	۱۰۹/۱۴۷۲	۱۰۹/۴۹۷۱	۱۰۹/۵۲۶۰	۱۰۹/۰۱۰۹	۱۰۸/۹۴۶۰
θ(O5CH2)	۱۰۴/۵۳۰۸	۱۰۴/۵۵۲۷	۱۰۴/۷۱۵۵	۱۰۴/۶۸۰۹	۱۰۴/۶۸۶۷	۱۰۴/۷۵۳۵
θ(O5CH2)	۱۱۰/۰۹۲۳	۱۱۰/۱۲۵۲	۱۱۰/۱۷۲۹	۱۱۰/۱۶۴۴	۱۱۰/۳۳۶۷	۱۱۰/۰۴۷۴
θ(O5CH2)	۱۱۰/۵۸۹۷	۱۱۰/۵۹۷۰	۱۱۰/۶۶۱۱	۱۱۰/۶۲۱۳	۱۱۰/۶۹۷۹	۱۱۰/۵۷۵۸

* طول پیوندها بر حسب A° و زاویه ها بر حسب درجه گزارش شده است.

جدول ۱۱- مشخصات ساختار بهینه شده حالت گذار در روش MP2.

گونه و مختصه	MP2			
	6-31+G(d)	6-31++G(p,d)	6-311+G(d)	cc-pVDZ
TS				
r(O1O2)	۱/۲۲۳۴	۱/۲۹۱۰	۱/۲۶۷۳	۱/۲۷۶۳
r(O2O3)	۱/۶۱۷۲	۱/۴۲۸۴	۱/۴۱۹۷	۱/۴۲۵۳
r(O3O4)	۱/۴۷۴۶	۱/۴۵۳۵	۱/۴۴۷۴	۱/۴۴۹۳
r(O4O5)	۱/۴۰۲۵	۱/۴۱۷۶	۱/۳۹۳۶	۱/۴۰۴۵
r(O4O5)	۱/۴۳۴۱	۱/۴۴۱۹	۱/۴۳۴۶	۱/۴۳۱۶
r(CO5)	۱/۱۰۰۰	۱/۰۸۷۴	۱/۰۸۹۹	۱/۰۹۹۹
r(CH1)	۱/۱۰۱۵	۱/۰۸۷۵	۱/۰۹۰۵	۱/۱۰۱۳
r(CH1)	۱/۱۰۰۸	۱/۰۸۷۷	۱/۰۹۰۷	۱/۱۰۱۳

ادامه جدول ۱۱.

r(CH ₂)	۱۰۹/۳۲۵۹	۱۰۹/۷۲۴۸	۱۱۰/۴۶۹۵	۱۰۹/۸۱۶۰
r(CH ₃)	۱۰۰/۹۳۴۴	۱۰۱/۰۳۷۴	۱۰۱/۶۱۸۳	۱۰۱/۴۳۱۷
θ(O ₁ O ₂ O ₃)	۱۰۲/۵۷۰۵	۱۰۱/۶۷۳۹	۱۰۲/۶۹۸۸	۱۰۱/۹۵۴۷
θ(O ₂ O ₃ O ₄)	۱۰۸/۲۰۳۲	۱۰۷/۰۶۲۱	۱۰۷/۸۶۳۳	۱۰۶/۹۳۷۷
θ(O ₃ O ₄ O ₅)	۱۰۳/۹۴۴۷	۱۰۳/۳۴۶۸	۱۰۳/۷۵۹۵	۱۰۴/۰۱۵۲
θ(O ₄ O ₅ C)	۱۱۰/۸۱۰۰	۱۱۰/۱۴۲۵	۱۱۰/۱۸۳۸	۱۱۰/۸۲۱۷
θ(O ₅ CH ₁)	۱۱۰/۸۵۳۰	۱۱۰/۵۱۰۱	۱۱۰/۶۲۲۴	۱۱۰/۹۵۷۸
θ(O ₅ CH ₂)				
θ(O ₅ CH ₃)				

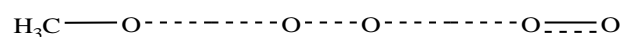
* طول پیوندها بر حسب A° و زاویه ها بر حسب درجه گزارش شده است.

جدول ۱۲- مشخصات ساختار بهینه شده حالت گذار در روش B₃LYP.

گونه و مختصه	B ₃ LYP					
	6-31+G(d)	6-31++G(p,d)	6-311+G(d)	6-311++G(p,d)	cc-pVDZ	Aug-cc-pVDZ
TS						
r(O ₁ O ₂)						
r(O ₂ O ₃)						
r(O ₃ O ₄)						
r(O ₄ O ₅)						
r(CO ₅)	۱/۲۳۶۵	۱/۲۳۶۵	۱/۲۱۷۷	۱/۲۱۷۸	۱/۲۲۳۴	۱/۲۲۷۳
r(CH ₁)	۱/۵۸۶۴	۱/۵۸۶۲	۱/۶۲۸۶	۱/۶۲۸۲	۱/۶۱۷۲	۱/۵۸۸۸
r(CH ₂)	۱/۴۸۱۴	۱/۴۸۱۵	۱/۴۷۰۸	۱/۴۷۱۰	۱/۴۷۴۶	۱/۴۷۳۷
r(CH ₃)	۱/۴۰۲۱	۱/۴۰۲۰	۱/۴۰۱۶	۱/۴۰۱۲	۱/۴۰۲۱	۱/۳۹۷۹
r(CH ₃)	۱/۴۳۹۸	۱/۴۴۰۵	۱/۴۳۶۱	۱/۴۳۸۱	۱/۴۳۴۱	۱/۴۴۰۱
θ(O ₁ O ₂ O ₃)	۱/۰۹۳۳	۱/۰۹۲۶	۱/۰۹۰۶	۱/۰۹۰۸	۱/۱۰۰۰	۱/۰۹۶۸
θ(O ₂ O ₃ O ₄)	۱/۰۹۳۶	۱/۰۹۳۰	۱/۰۹۱۰	۱/۰۹۱۴	۱/۱۰۱۵	۱/۰۹۷۲
θ(O ₃ O ₄ O ₅)	۱/۰۹۳۲	۱/۰۹۲۶	۱/۰۹۰۵	۱/۰۹۰۹	۱/۱۰۰۸	۱/۰۹۶۸
θ(O ₄ O ₅ C)	۱۰۹/۲۰۵۶	۱۰۹/۲۰۷۸	۱۰۹/۸۲۳۸	۱۰۹/۸۲۰۷	۱۰۹/۳۲۵۹	۱۰۹/۲۶۲۷
θ(O ₅ CH ₁)	۱۰۰/۸۲۷۶	۱۰۰/۸۳۷۴	۱۰۱/۰۰۳۳	۱۰۱/۰۱۳۱	۱۰۰/۹۳۴۴	۱۰۰/۷۳۰۴
θ(O ₅ CH ₂)	۱۰۲/۹۸۵۳	۱۰۲/۹۷۴۲	۱۰۳/۳۰۴۶	۱۰۳/۳۱۳۳	۱۰۲/۵۷۰۵	۱۰۲/۹۶۱۵
θ(O ₅ CH ₃)	۱۰۸/۷۵۱۷	۱۰۸/۷۲۹۳	۱۰۸/۸۷۷۷	۱۰۸/۹۰۴۵	۱۰۸/۲۰۳۲	۱۰۸/۶۵۸۵
θ(O ₅ CH ₂)	۱۰۳/۵۷۱۵	۱۰۳/۶۵۲۹	۱۰۳/۷۷۷۸	۱۰۳/۷۶۵۸	۱۰۳/۹۴۴۷	۱۰۳/۶۷۷۰
θ(O ₅ CH ₃)	۱۱۰/۲۴۲۲	۱۱۰/۲۹۷۴	۱۱۰/۳۴۵۶	۱۱۰/۳۴۵۰	۱۱۰/۸۱۰۰	۱۱۰/۱۴۸۷
θ(O ₅ CH ₂)	۱۱۰/۶۳۳۶	۱۱۰/۶۵۷۸	۱۱۰/۷۱۲۸	۱۱۰/۶۶۳۴	۱۱۰/۸۵۳۰	۱۱۰/۵۷۵۳

* طول پیوندها بر حسب A° و زاویه ها بر حسب درجه گزارش شده است.

این جدول‌ها ساختاری بی‌تقارن (C_1) را برای مولکول حدواسط پیش‌بینی می‌کنند، که در آن دو پیوند در حال شکسته شدن و یک پیوند در حال تشکیل شدن است.



جدول ۱۳- فرکانس‌ها و انرژی نقطه صفر (ZPE) برای حالت‌گذار در روش HF.

گونه‌ها	HF					
	6-31+G(d)	6-31++G(p,d)	6-311+G(d)	6-311++G(p,d)	cc-pVDZ	Aug-cc-pVDZ
TS						
فرکانس‌ها	-۵۳/۷۸۶	-۵۴/۴۳۷۷	-۵۵/۶۲۱۴	-۵۵/۹۹۵۴	-۶۰/۳۴۷۶	-۶۰/۴۶۴۳
	۱۰۸/۰۴۶۷	۱۰۸/۹۷۴۸	۱۱۰/۰۰۵	۱۱۰/۹۸۰۵	۱۱۰/۱۵۳۳	۱۱۱/۸۱۱۱
	۱۵۰/۷۹۷۹	۱۵۱/۶۶۴۵	۱۵۶/۳۱۶۱	۱۵۷/۳۱۴۵	۱۵۲/۰۷۵۱	۱۵۶/۷۷۵۳
	۱۸۵/۴۷۲۱	۱۸۴/۰۴۵	۱۸۸/۰۳۳۱	۱۸۶/۵۶۲۱	۱۸۲/۸۶۳۸	۱۸۳/۶۲۶۴
	۳۷۳/۵۸۹۷	۳۷۵/۷۶۳۲	۳۸۲/۷۲۸۲	۳۸۴/۷۶۸۷	۳۷۹/۶۸۴۴	۳۸۶/۸۳۲۱
	۴۰۱/۶۹۴۵	۴۰۳/۳۳۴۲	۴۱۰/۹۱۴۷	۴۱۲/۱۹۱	۴۰۶/۷۹۳۱	۴۱۲/۶۰۵۲
	۵۰۳/۹۵۴۲	۵۰۶/۵۵۴	۵۱۳/۸۳۵۳	۵۱۵/۹۶۷۳	۵۰۹/۷۳۹۳	۵۱۶/۶۵۱۱
	۶۵۸/۳۷۴۸	۶۶۲/۰۳۵۵	۶۷۶/۱۴۰۲	۶۷۹/۷۷۰۲	۶۷۵/۱۵۷۴	۶۸۳/۰۶۲۲
	۹۴۱/۲۴۳۲	۹۴۴/۳۲۸۸	۹۵۴/۰۹۹۴	۹۵۶/۵۰۱۳	۹۳۹/۷۵۹۷	۹۴۸/۱۱۸۵
	۹۹۱/۱۷۴۳	۹۹۶/۵۵۳۶	۱۰۱۸/۴۰۳	۱۰۲۳/۶۹۶	۹۷۱/۹۲۳۲	۹۹۸/۷۵۹۵
	۱۰۲۶/۷۱۸	۱۰۳۱/۷۴۸	۱۰۵۲/۳۱۳	۱۰۵۷/۳۴۲	۱۰۱۸/۵۵۶	۱۰۴۰/۴۶۱
	۱۰۸۹/۲۴۱	۱۰۹۵/۱۶۴	۱۱۰۷/۵۰۷	۱۱۱۳/۳۷۲	۱۰۸۱/۴۸۷	۱۱۰۷/۴۴۱
	۱۱۰۷/۵۶۷	۱۱۱۲/۹۴۳	۱۱۲۷/۶۲۳	۱۱۳۳/۱۱	۱۱۰۶/۲۹۶	۱۱۲۰/۰۶۲
	۱۱۶۰/۷۷۵	۱۱۵۹/۵۷۴	۱۱۶۹/۰۲	۱۱۶۳/۹۶۴	۱۱۵۰/۹۷۷	۱۱۵۳/۹۶
	۱۲۰۶/۹۳۹	۱۲۰۷/۰۰۷	۱۲۱۸/۲۶۵	۱۲۱۵/۲۵	۱۲۰۱/۳۷۶	۱۲۰۵/۳۸
	۱۴۴۳/۳۹۹	۱۴۳۸/۶۸۸	۱۴۴۴/۷۸۲	۱۴۴۰/۶۸۲	۱۴۲۰/۲۱۳	۱۴۲۳/۶۸۶
	۱۴۵۹/۳۷۹	۱۴۵۰/۷۷	۱۴۶۰/۶۱۶	۱۴۵۲/۲۰۰	۱۴۳۰/۵۱۳	۱۴۳۴/۱۹۱
	۱۴۸۳/۹۴۳	۱۴۷۸/۰۵۳	۱۴۸۵/۸۶۳	۱۴۷۹/۷۳۱	۱۴۵۹/۱۹۴	۱۴۵۸/۲۵۳
۲۹۱۵/۳۵۵	۲۹۰۷/۲۹۹	۲۹۰۸/۰۰۴	۲۹۰۵/۳۱۲	۲۹۱۵/۹۸۹	۲۹۱۵/۹۳۸	
۲۹۹۳/۱۴۸	۲۹۸۷/۷۷۵	۲۹۸۳/۴۱۸	۲۹۸۰/۸۴۵	۳۰۰۲/۹۶۴	۲۹۹۸/۹۸۴	
۳۰۰۵/۹۰۷	۳۰۰۱/۶۸۸	۳۰۰۰/۴۵۸	۲۹۹۸/۷۶۳	۳۰۲۱/۷۰۲	۳۰۱۳/۵۸۶	
ZPE	۳۲/۹۵۳	۳۲/۷۶۷	۳۲/۹۹۹	۳۲/۸۱۸	۳۳/۵۲۸	۳۳/۷۱۲

* فرکانس‌ها بر حسب (cm^{-1}) و انرژی نقطه صفر (ZPE) بر حسب ($kcal.mol^{-1}$) گزارش شده‌اند. (ضریب‌های مقیاس مربوط به سطح محاسباتی در فرکانس‌ها و انرژی‌ها لحاظ شده است.)

جدول ۱۴- فرکانس‌ها و انرژی نقطه صفر (ZPE) برای حالت گذار در روش MP۲.

گونه‌ها	MP۲			
	6-31+G(d)	6-31++G(p,d)	6-311+G(d)	cc-pVDZ
TS				
فرکانس‌ها	-۱۰۲/۸۸۷	-۷۵/۲۸۹۷	-۷۴/۷۷۸	-۷۶/۴۵۹۴
	۹۳/۱۶۵۰۱	۱۰۴/۲۷۸	۱۰۰/۱۰۳	۹۸/۱۸۳۸۷
	۱۵۶/۶۵۲۸	۱۴۵/۹۹۲۷	۱۳۸/۲۴۰۴	۱۴۶/۸۵۴۱
	۲۰۳/۸۰۰۷	۱۹۲/۱۱۱۵	۱۸۵/۴۶۵۹	۱۸۸/۲۳۳۶
	۳۴۰/۴۰۶۲	۳۴۸/۸۱۵۴	۳۳۵/۴۲۴۶	۳۴۱/۱۹۵
	۴۰۱/۶۶۲۹	۴۱۳/۲۵۰۵	۴۰۱/۴۴۹۵	۴۰۲/۱۹۳
	۴۴۹/۴۸۹۶	۵۲۰/۵۱۱۸	۵۰۳/۵۶۲۱	۵۰۲/۸۶۶
	۷۱۸/۷۳۵۷	۶۴۶/۴۲۰۶	۶۳۱/۶۱۷۵	۶۳۸/۶۳۳۵
	۸۴۷/۳۷۲۵	۹۲۱/۹۰۴۳	۸۷۷/۲۵۸۵	۸۷۸/۶۴۷۵
	۹۴۴/۷۶۹۲	۱۰۲۳/۶۶۵	۹۷۹/۶۱۸۴	۹۸۷/۹۵۳۱
	۱۱۰۴/۳۳۹	۱۱۳۷/۱۸۴	۱۱۱۵/۳۸۱	۱۰۹۲/۶۱۴
	۱۱۲۷/۳۱	۱۱۹۱/۷۹۳	۱۱۳۷/۸۲۹	۱۱۲۳/۱۶
	۱۱۷۲/۷۶۱	۱۲۲۱/۷۰۶	۱۱۷۳/۰۳۸	۱۱۵۸/۱۷۸
	۱۲۱۹/۴۲۷	۱۴۸۶/۹۸۲	۱۴۱۳/۵۹۲	۱۳۸۱/۶۵۱
	۱۴۰۰/۰۶۳	۱۵۱۵/۱۳۱	۱۴۳۲/۲۶۹	۱۴۰۱/۰۵
	۱۴۲۹/۲۰۶	۱۵۵۳/۹۲۷	۱۴۶۱/۴۸۴	۱۴۳۹/۴۵۳
	۱۴۷۰/۲۴۷	۱۷۱۰/۲۱۴	۱۴۶۴/۰۹	۱۶۰۱/۵۷۲
۲۴۰۲/۰۳۷	۲۴۵۸/۳۱۱	۲۰۷۴/۸۵۴	۲۲۱۷/۲۶	
۲۹۲۸/۷۵۵	۳۱۳۲/۲۷۳	۲۹۳۷/۲۶۵	۲۹۴۵/۷۳۶	
۳۰۲۴/۲۴۳	۳۲۴۷/۴۱۶	۳۰۳۹/۱۶۳	۳۰۵۰/۲۳۳	
۳۰۴۴/۵۵	۳۲۵۸/۰۸۲	۳۰۵۳/۴۲۷	۳۰۷۰/۵۷۶	
ZPE	۳۶/۳۳۰	۳۶/۷۰۹	۳۶/۰۲۷	۳۶/۲۲۴

* فرکانس‌ها بر حسب (cm^{-1}) و انرژی نقطه صفر (ZPE) بر حسب (kcal.mol^{-1}) گزارش شده‌اند. (ضریب‌های مقیاس مربوط به سطح محاسباتی در فرکانس‌ها و انرژی‌ها لحاظ شده است.)

جدول ۱۵- فرکانس‌ها و انرژی نقطه صفر (ZPE) برای حالت گذار در روش B۳LYP.

گونه‌ها	B۳LYP					
	6-31+G(d)	6-31++G(p,d)	6-311+G(d)	6-311++G(p,d)	cc-pVDZ	Aug-cc-pVDZ
TS						
فرکانس‌ها	-۱۳۲/۹۸۹	-۱۳۳/۳۶۱	-۱۴۳/۷۰۴	-۱۴۳/۵۸۱	-۱۴۰/۴۵۷	-۱۳۶/۶۹۴
	۳۲/۰۷۳۳۱	۳۱/۳۷۴۸۳	۳۶/۲۳۷۳۶	۳۶/۱۰۷۷۸	۳۴/۸۴۵۸	۲۹/۲۹۲۹۳
	۱۳۹/۲۸۱۱	۱۳۹/۷۸	۱۳۴/۳۴۴۷	۱۳۴/۵۴۶۷	۱۳۹/۱۸۶	۱۴۲/۷۱۹۲
	۱۴۶/۴۰۱۴	۱۴۶/۸۱۶۱	۱۴۶/۶۸۰۵	۱۴۶/۷۱۱۱	۱۵۴/۱۳۰۳	۱۴۶/۳۲۵۶
	۲۱۳/۸۹۳۱	۲۱۳/۵۲۴۹	۲۰۶/۲۴۱۴	۲۰۵/۷۶۸۳	۲۱۴/۳۱۵۵	۲۱۳/۹۷۶۵

ادامه جدول ۱۵.

	۲۹۱/۸۰۲	۲۹۲/۸۶۱	۲۴۱/۰۴۷۷	۲۴۱/۷۱۵۷	۲۷۷/۹۲۸۸	۲۹۰/۸۶۷
	۴۲۳/۱۰۱۳	۴۲۴/۱۵۱۸	۴۰۸/۴۴۶۳	۴۰۸/۰۶۱۷	۴۱۹/۶۳۲۳	۴۲۵/۸۶۸
	۴۸۵/۸۱۹۷	۴۸۷/۸۳۶۹	۴۸۴/۴۳۸	۴۸۴/۹۸۰۱	۴۸۹/۰۹۶۳	۴۹۶/۰۹۵۸
	۵۷۶/۱۲۲۶	۵۷۸/۰۵۴۱	۵۵۱/۱۲۳۹	۵۵۱/۲۲۸۳	۵۷۷/۸۲۷۱	۵۸۳/۱۳۴۶
	۷۹۴/۷۶۹۱	۷۹۷/۹۱۳	۷۷۶/۷۶۲۴	۷۷۷/۵۲۲۸	۷۹۳/۸۳۶۹	۸۰۲/۹۸۸
	۹۲۰/۱۹۸۴	۹۲۱/۰۴۲۴	۹۱۷/۶۳۲۵	۹۱۴/۲۸۸۸	۹۳۲/۰۲۹۶	۹۲۴/۲۷۱۶
	۹۶۹/۷۱۷	۹۷۲/۴۱۴۹	۹۶۵/۲۰۲۸	۹۶۴/۲۸۲۹	۹۷۵/۹۰۴۵	۹۷۸/۴۴۴۲
	۱۱۲۷/۷۶۵	۱۱۲۴/۶۵۴	۱۱۳۵/۶۴۱	۱۱۲۵/۴۵۷	۱۱۱۴/۶۱۶	۱۱۱۵/۹۱۹
	۱۱۶۲/۱۷۹	۱۱۵۹/۹۴۵	۱۱۷۲/۱۳۶	۱۱۶۳/۲۹۹	۱۱۵۶/۹۲۳	۱۱۵۵/۴۱۹
	۱۳۳۱/۴	۱۳۳۶/۷۰۶	۱۳۶۶/۶۳۲	۱۳۶۷/۳۸۸	۱۳۷۲/۸۶۹	۱۳۵۵/۱۱
	۱۴۰۲/۴۵۲	۱۳۹۶/۰۲۷	۱۴۰۷/۶۴۵	۱۳۹۷/۱۶۱	۱۳۷۶/۵۵۵	۱۳۷۴/۱۲۴
	۱۴۲۸/۳۴۴	۱۴۱۷/۲۵۳	۱۴۳۱/۳۳۶	۱۴۱۵/۷۸۴	۱۳۹۰/۶۲۹	۱۳۹۳/۱۶۳
	۱۴۶۰/۲۳۲	۱۴۵۲/۰۵۸	۱۴۶۳/۶۳۲	۱۴۵۱/۲۵۳	۱۴۲۹/۴۳	۱۴۲۶/۶۹۹
	۲۹۴۲/۱۷۹	۲۹۴۳/۷۰۴	۲۹۴۳/۴۰۵	۲۹۳۸/۵۲	۲۹۴۱/۹۷۲	۲۹۵۱/۷۶۷
	۳۰۲۸/۳۱۷	۳۰۳۳/۶۶۶	۳۰۲۸/۱۶۱	۳۰۲۱/۹۸۳	۳۰۳۱/۴۸۸	۳۰۴۳/۷۰۵
	۳۰۳۷/۴۰۳	۳۰۴۳/۰۹۹	۳۰۳۸/۸۶۵	۳۰۳۳/۹۶۸	۳۰۵۰/۲۲۷	۳۰۵۴/۶۲۱
ZPE	۳۱/۹۷۹	۳۱/۲۲۸	۳۱/۳۷۳	۳۱/۴۹۰	۳۱/۲۳۴	۳۱/۵۹۵

* فرکانس‌ها بر حسب (cm^{-1}) و انرژی نقطه صفر (ZPE) بر حسب (kcal.mol^{-1}) گزارش شده‌اند. (ضریب‌های مقیاس مربوط به سطح محاسباتی در فرکانس‌ها و انرژی‌ها لحاظ شده است.)

جدول ۱۶- توابع تقسیم برای حرکت‌های انتقالی، ارتعاشی، چرخشی و الکترونی در روش HF.

گونه‌ها	HF					
	6-31+G(d)	6-31++G(p,d)	6-311+G(d)	6-311++G(p,d)	cc-Pvdz	Aug-cc-Pvdz
TS						
تابع‌های تقسیم ارتعاشی	-۳/۸۴	-۳/۷۹	-۳/۷۱	-۳/۶۹	-۳/۴۲	-۳/۴۱
	۱/۹۰	۱/۸۸	۱/۸۶	۱/۸۴	۱/۸۶	۱/۸۳
	۱/۳۴	۱/۳۴	۱/۲۹	۱/۲۹	۱/۳۳	۱/۲۹
	۱/۰۸	۱/۰۹	۱/۰۶	۱/۰۷	۱/۱۰	۱/۰۹
	$۴/۸۶ \times 10^{-1}$	$۴/۸۲ \times 10^{-1}$	$۴/۷۱ \times 10^{-1}$	$۴/۶۸ \times 10^{-1}$	$۴/۷۶ \times 10^{-1}$	$۴/۶۵ \times 10^{-1}$
	$۴/۴۳ \times 10^{-1}$	$۴/۴۱ \times 10^{-1}$	$۴/۳۰ \times 10^{-1}$	$۴/۲۸ \times 10^{-1}$	$۴/۳۶ \times 10^{-1}$	$۴/۲۸ \times 10^{-1}$
	$۳/۲۵ \times 10^{-1}$	$۳/۲۲ \times 10^{-1}$	$۳/۱۶ \times 10^{-1}$	$۳/۱۴ \times 10^{-1}$	$۳/۲۰ \times 10^{-1}$	$۳/۱۳ \times 10^{-1}$
	$۲/۱۳ \times 10^{-1}$	$۲/۱۱ \times 10^{-1}$	$۲/۰۳ \times 10^{-1}$	$۲/۰۱ \times 10^{-1}$	$۲/۰۴ \times 10^{-1}$	$۲/۰۰ \times 10^{-1}$
	$۱/۰۴ \times 10^{-1}$	$۱/۰۳ \times 10^{-1}$	$۱/۰۱ \times 10^{-1}$	$۱/۰۰ \times 10^{-1}$	$۱/۰۵ \times 10^{-1}$	$۱/۰۳ \times 10^{-1}$
	$۹/۲۲ \times 10^{-2}$	$۹/۱۰ \times 10^{-2}$	$۸/۶۳ \times 10^{-2}$	$۸/۵۱ \times 10^{-2}$	$۹/۶۷ \times 10^{-2}$	$۹/۰۵ \times 10^{-2}$
	$۸/۴۵ \times 10^{-2}$	$۸/۳۵ \times 10^{-2}$	$۷/۹۴ \times 10^{-2}$	$۷/۸۴ \times 10^{-2}$	$۸/۶۲ \times 10^{-2}$	$۸/۱۷ \times 10^{-2}$
	$۷/۲۵ \times 10^{-2}$	$۷/۱۵ \times 10^{-2}$	$۶/۹۴ \times 10^{-2}$	$۶/۸۴ \times 10^{-2}$	$۷/۳۹ \times 10^{-2}$	$۶/۹۴ \times 10^{-2}$
	$۶/۹۴ \times 10^{-2}$	$۶/۸۵ \times 10^{-2}$	$۶/۶۱ \times 10^{-2}$	$۶/۵۲ \times 10^{-2}$	$۶/۹۶ \times 10^{-2}$	$۶/۷۳ \times 10^{-2}$
$۶/۰۹ \times 10^{-2}$	$۶/۱۱ \times 10^{-2}$	$۵/۹۷ \times 10^{-2}$	$۶/۰۵ \times 10^{-2}$	$۶/۲۴ \times 10^{-2}$	$۶/۲۰ \times 10^{-2}$	

	$5/45 \times 10^{-1}$	$5/45 \times 10^{-1}$	$5/30 \times 10^{-1}$	$5/34 \times 10^{-1}$	$5/52 \times 10^{-1}$	$5/47 \times 10^{-1}$
	$3/07 \times 10^{-2}$	$3/11 \times 10^{-2}$	$3/06 \times 10^{-2}$	$3/09 \times 10^{-2}$	$3/25 \times 10^{-2}$	$3/22 \times 10^{-2}$
	$2/96 \times 10^{-2}$	$3/02 \times 10^{-2}$	$2/95 \times 10^{-2}$	$3/01 \times 10^{-2}$	$3/17 \times 10^{-2}$	$3/14 \times 10^{-2}$
	$2/79 \times 10^{-2}$	$2/83 \times 10^{-2}$	$2/77 \times 10^{-2}$	$2/81 \times 10^{-2}$	$2/96 \times 10^{-2}$	$2/96 \times 10^{-2}$
	$8/80 \times 10^{-4}$	$8/97 \times 10^{-4}$	$8/95 \times 10^{-4}$	$9/01 \times 10^{-4}$	$8/78 \times 10^{-4}$	$8/78 \times 10^{-4}$
	$7/29 \times 10^{-4}$	$7/39 \times 10^{-4}$	$7/46 \times 10^{-4}$	$7/51 \times 10^{-4}$	$7/12 \times 10^{-4}$	$7/19 \times 10^{-4}$
	$7/07 \times 10^{-4}$	$7/14 \times 10^{-4}$	$7/16 \times 10^{-4}$	$7/19 \times 10^{-4}$	$6/81 \times 10^{-4}$	$6/94 \times 10^{-4}$
تابع تقسیم انتقالی	$3/64 \times 10^7$	$3/64 \times 10^7$	$3/64 \times 10^7$	$3/64 \times 10^7$	$3/64 \times 10^7$	$3/64 \times 10^7$
تابع تقسیم چرخشی	$1/34 \times 10^5$	$1/34 \times 10^5$	$1/33 \times 10^5$	$1/33 \times 10^5$	$1/33 \times 10^5$	$1/32 \times 10^5$
تابع تقسیم الکترونی	۲	۲	۲	۲	۲	۲

جدول ۱۷- توابع تقسیم برای حرکت‌های انتقالی، ارتعاشی، چرخشی و الکترونی در روش MP۲.

گونه‌ها	MP۲			
	6-31+G(d)	6-31++G(p,d)	6-311+G(d)	cc-pVDZ
TS				
	-۱/۹۹	-۲/۹۱	-۲/۷۶	-۲/۶۹
	۲/۲۱	۲/۰۹	۲/۰۵	۲/۰۹
	۱/۲۹	۱/۴۸	۱/۴۷	۱/۳۸
	$9/77 \times 10^{-1}$	$1/11$	$1/08$	$1/06$
	$5/45 \times 10^{-1}$	$5/70 \times 10^{-1}$	$5/55 \times 10^{-1}$	$5/44 \times 10^{-1}$
	$4/43 \times 10^{-1}$	$4/62 \times 10^{-1}$	$4/43 \times 10^{-1}$	$4/42 \times 10^{-1}$
	$3/82 \times 10^{-1}$	$3/38 \times 10^{-1}$	$3/25 \times 10^{-1}$	$3/26 \times 10^{-1}$
	$1/82 \times 10^{-1}$	$2/43 \times 10^{-1}$	$2/29 \times 10^{-1}$	$2/24 \times 10^{-1}$
	$1/32 \times 10^{-1}$	$1/25 \times 10^{-1}$	$1/22 \times 10^{-1}$	$1/22 \times 10^{-1}$
	$1/03 \times 10^{-1}$	$9/87 \times 10^{-2}$	$9/49 \times 10^{-2}$	$9/29 \times 10^{-2}$
تابع‌های تقسیم ارتعاشی	$6/99 \times 10^{-2}$	$7/60 \times 10^{-2}$	$6/81 \times 10^{-2}$	$7/19 \times 10^{-2}$
	$6/61 \times 10^{-2}$	$6/71 \times 10^{-2}$	$6/44 \times 10^{-2}$	$6/68 \times 10^{-2}$
	$5/92 \times 10^{-2}$	$6/26 \times 10^{-2}$	$5/92 \times 10^{-2}$	$6/13 \times 10^{-2}$
	$5/29 \times 10^{-2}$	$3/42 \times 10^{-2}$	$3/30 \times 10^{-2}$	$3/57 \times 10^{-2}$
	$3/41 \times 10^{-2}$	$3/21 \times 10^{-2}$	$3/16 \times 10^{-2}$	$3/40 \times 10^{-2}$
	$3/18 \times 10^{-2}$	$2/94 \times 10^{-2}$	$2/94 \times 10^{-2}$	$3/10 \times 10^{-2}$
	$2/88 \times 10^{-2}$	$2/06 \times 10^{-2}$	$2/92 \times 10^{-2}$	$2/10 \times 10^{-2}$
	$3/04 \times 10^{-2}$	$3/76 \times 10^{-2}$	$6/69 \times 10^{-2}$	$4/74 \times 10^{-2}$
	$8/52 \times 10^{-4}$	$8/14 \times 10^{-4}$	$8/34 \times 10^{-4}$	$8/17 \times 10^{-4}$
	$6/76 \times 10^{-4}$	$6/27 \times 10^{-4}$	$6/52 \times 10^{-4}$	$6/35 \times 10^{-4}$
	$6/44 \times 10^{-4}$	$6/12 \times 10^{-4}$	$6/30 \times 10^{-4}$	$6/05 \times 10^{-4}$

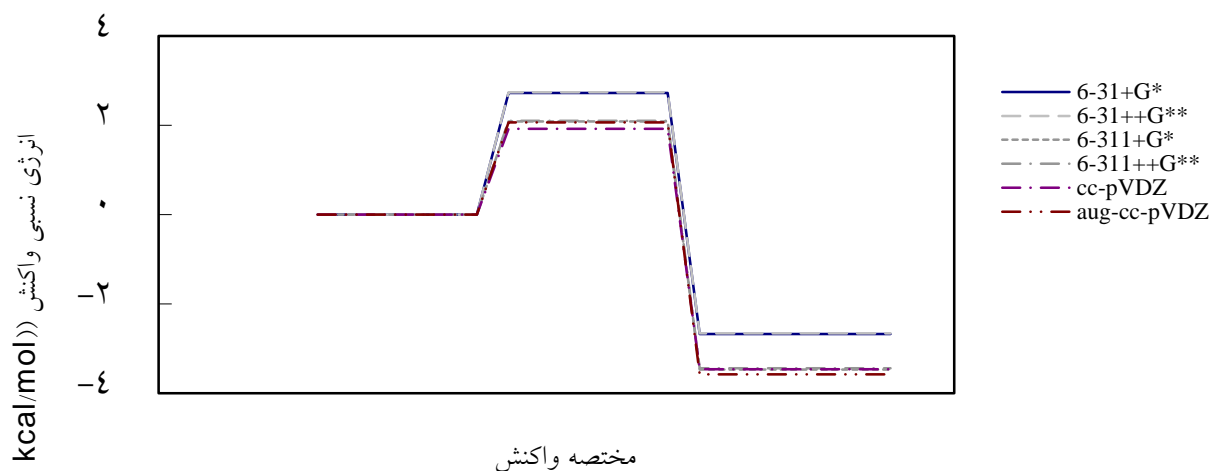
ادامه جدول ۱۷.

تابع تقسیم انتقالی	$3/64 \times 10^7$	$3/64 \times 10^7$	$3/64 \times 10^7$	$3/64 \times 10^7$
تابع تقسیم چرخشی	$1/51 \times 10^5$	$1/65 \times 10^5$	$1/42 \times 10^5$	$1/41 \times 10^5$
تابع تقسیم الکترونی	۲	۲	۲	۲

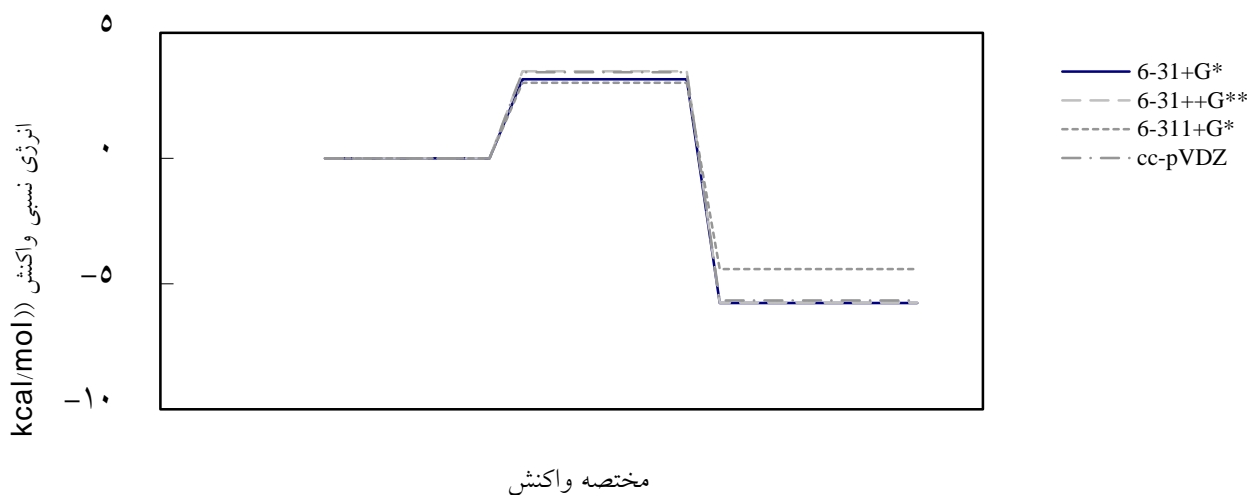
جدول ۱۸- توابع تقسیم برای حرکت‌های انتقالی، ارتعاشی، چرخشی و الکترونی در روش B³LYP.

گونه‌ها	B ³ LYP					
	6-31+G(d)	6-31++G(p,d)	6-311+G(d)	6-311++G(p,d)	cc-pVDZ	Aug-cc-pVDZ
TS						
تابع‌های تقسیم ارتعاشی	-1/53	-1/53	-1/41	-1/41	-1/45	-1/49
	6/45	6/60	5/71	5/73	5/94	7/07
	1/46	1/45	1/52	1/51	1/46	1/42
	1/39	1/34	1/38	1/38	1/31	1/39
	$9/27 \times 10^{-1}$	$9/29 \times 10^{-1}$	$9/64 \times 10^{-1}$	$9/67 \times 10^{-1}$	$9/25 \times 10^{-1}$	$9/26 \times 10^{-1}$
	$6/55 \times 10^{-1}$	$6/52 \times 10^{-1}$	$8/31 \times 10^{-1}$	$8/10 \times 10^{-1}$	$6/92 \times 10^{-1}$	$6/57 \times 10^{-1}$
	$4/14 \times 10^{-1}$	$4/13 \times 10^{-1}$	$4/34 \times 10^{-1}$	$4/34 \times 10^{-1}$	$4/18 \times 10^{-1}$	$4/10 \times 10^{-1}$
	$3/42 \times 10^{-1}$	$3/40 \times 10^{-1}$	$3/44 \times 10^{-1}$	$3/43 \times 10^{-1}$	$3/39 \times 10^{-1}$	$3/32 \times 10^{-1}$
	$2/65 \times 10^{-1}$	$2/64 \times 10^{-1}$	$2/84 \times 10^{-1}$	$2/84 \times 10^{-1}$	$2/64 \times 10^{-1}$	$2/60 \times 10^{-1}$
	$1/50 \times 10^{-1}$	$1/49 \times 10^{-1}$	$1/57 \times 10^{-1}$	$1/57 \times 10^{-1}$	$1/50 \times 10^{-1}$	$1/47 \times 10^{-1}$
	$1/10 \times 10^{-1}$	$1/10 \times 10^{-1}$	$1/11 \times 10^{-1}$	$1/11 \times 10^{-1}$	$1/07 \times 10^{-1}$	$1/09 \times 10^{-1}$
	$9/72 \times 10^{-2}$	$9/66 \times 10^{-2}$	$9/83 \times 10^{-2}$	$9/85 \times 10^{-2}$	$9/57 \times 10^{-2}$	$9/51 \times 10^{-2}$
	$6/60 \times 10^{-2}$	$6/65 \times 10^{-2}$	$6/48 \times 10^{-2}$	$6/64 \times 10^{-2}$	$6/82 \times 10^{-2}$	$6/80 \times 10^{-2}$
	$6/07 \times 10^{-2}$	$6/11 \times 10^{-2}$	$5/93 \times 10^{-2}$	$6/06 \times 10^{-2}$	$6/15 \times 10^{-2}$	$6/17 \times 10^{-2}$
	$4/03 \times 10^{-2}$	$3/93 \times 10^{-2}$	$3/70 \times 10^{-2}$	$3/69 \times 10^{-2}$	$3/64 \times 10^{-2}$	$3/80 \times 10^{-2}$
	$3/39 \times 10^{-2}$	$3/45 \times 10^{-2}$	$3/35 \times 10^{-2}$	$3/44 \times 10^{-2}$	$3/61 \times 10^{-2}$	$3/63 \times 10^{-2}$
	$3/19 \times 10^{-2}$	$3/27 \times 10^{-2}$	$3/16 \times 10^{-2}$	$3/28 \times 10^{-2}$	$3/49 \times 10^{-2}$	$3/47 \times 10^{-2}$
	$2/95 \times 10^{-2}$	$3/01 \times 10^{-2}$	$2/93 \times 10^{-2}$	$3/01 \times 10^{-2}$	$3/18 \times 10^{-2}$	$3/20 \times 10^{-2}$
	$8/24 \times 10^{-4}$	$8/21 \times 10^{-4}$	$8/22 \times 10^{-4}$	$8/32 \times 10^{-4}$	$8/25 \times 10^{-4}$	$8/06 \times 10^{-4}$
	$6/70 \times 10^{-4}$	$6/61 \times 10^{-4}$	$6/70 \times 10^{-4}$	$6/80 \times 10^{-4}$	$6/65 \times 10^{-4}$	$6/45 \times 10^{-4}$
$6/55 \times 10^{-4}$	$6/46 \times 10^{-4}$	$6/53 \times 10^{-4}$	$6/61 \times 10^{-4}$	$6/35 \times 10^{-4}$	$6/29 \times 10^{-4}$	
تابع تقسیم انتقالی	$3/64 \times 10^7$	$3/64 \times 10^7$	$3/64 \times 10^7$	$3/64 \times 10^7$	$3/64 \times 10^7$	$3/64 \times 10^7$
تابع تقسیم چرخشی	$1/51 \times 10^5$	$1/51 \times 10^5$	$1/51 \times 10^5$	$1/51 \times 10^5$	$1/51 \times 10^5$	$1/51 \times 10^5$
تابع تقسیم الکترونی	۲	۲	۲	۲	۲	۲

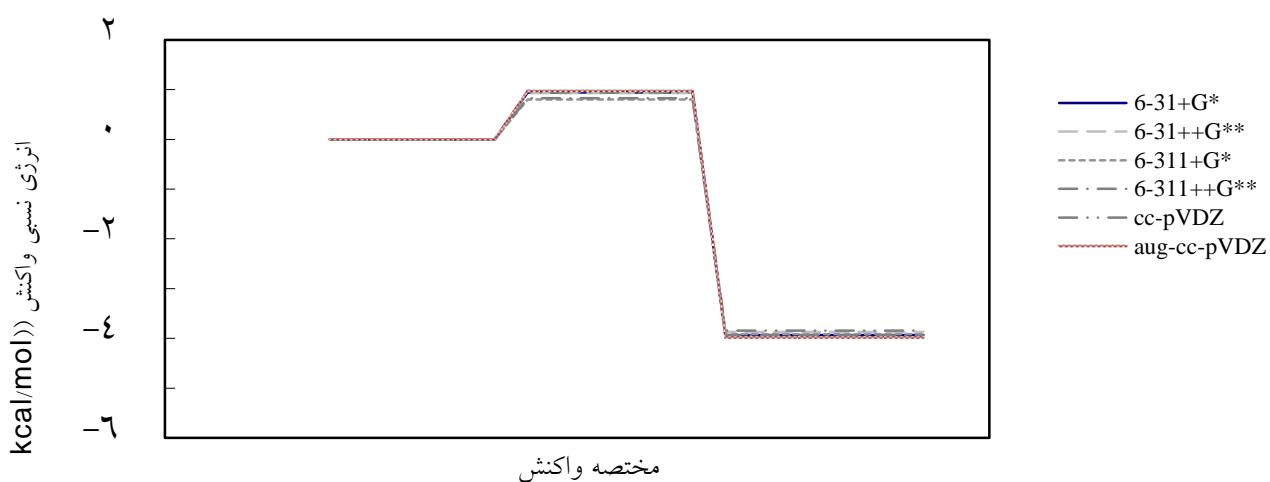
هم چنین در شکل های (۴)، (۵) و (۶) انرژی نسبی واکنش در تمام سطح های محاسباتی، برای واکنش دهنده ها، فرآورده ها و ساختار حالت گذار نشان داده شده است.



شکل ۴- انرژی نسبی برای مواد اولیه، فرآورده و حالت گذار در روش HF.



شکل ۵- انرژی نسبی برای مواد اولیه، فرآورده و حالت گذار در روش MP2.



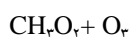
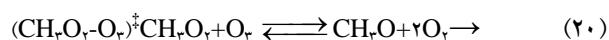
شکل ۶- انرژی نسبی برای مواد اولیه، فرآورده و حالت گذار در روش B3LYP.

جدول ۱۹- خطای انطباق مجموعه پایه در ۱۵ سطح محاسباتی.

سطح محاسباتی	$E_{\text{Complexation}}^{\circ}$	$E_{\text{Complexation}}^{\text{CP}}$	انرژی پیچیده شدن با تصحیح Counterpoise
HF			
6-31+G(d)	-۰/۰۱۸۱۷	-۰/۰۴۶۱۳	-۰/۰۲۷۹۵۶
6-31++G(p,d)	-۰/۰۱۸۲	۰/۰۰۰۵۹۶	۰/۰۱۸۷۹۸
6-311+G(d)	-۰/۰۱۷۵۲	۰/۰۰۱۹۷۸	۰/۰۱۹۴۹۷
6-311++G(p,d)	-۰/۰۱۷۴۸	۰/۰۰۱۶۱۹	۰/۰۱۹۱۰۳
cc-pVDZ	-۰/۰۱۸۶۷	۰/۰۰۱۴۳۳	۰/۰۲۰۱۰۲
Aug-cc-pVDZ	-۰/۰۱۴۸۲	۰/۰۰۲۸۱۳	۰/۰۱۷۶۳۷
MP2			
6-31+G(d)	۰/۰۳۱۸	۰/۰۲۸۳۲۲	-۰/۰۰۳۴۸
6-31++G(p,d)	۰/۰۱۸۶۳۸	۰/۰۳۸۳۲۹	۰/۰۱۹۶۹۱
6-311+G(d)	۰/۰۴۱۸۹۷	۰/۰۶۲۰۴۴	۰/۰۲۰۱۴۷
cc-pVDZ	۰/۰۳۸۶۲۳	۰/۰۵۹۳۲	۰/۰۲۰۶۹۷
B3LYP			
6-31+G(d)	-۰/۰۰۱۲۵	-۰/۰۴۰۴۶	-۰/۰۳۹۲۱
6-31++G(p,d)	-۰/۰۰۱۲۸	۰/۰۰۲۸۳۱	۰/۰۰۴۱۰۷
6-311+G(d)	$۵/۳ \times 10^{-5}$	-۰/۰۰۱۹۶	-۰/۰۰۲۰۲
6-311++G(p,d)	$۷/۹ \times 10^{-5}$	-۰/۰۰۲۱۳	-۰/۰۰۲۲۱
cc-pVDZ	۰/۰۰۷۰۱	-۰/۰۰۴۰۳	۰/۰۰۲۹۷۶
Aug-cc-pVDZ	۰/۰۰۰۷۸۲	۰/۰۰۲۵۹۷	۰/۰۰۱۸۱۵

۳-۵. بررسی ثابت سرعت واکنش با استفاده از نظریه $\text{CH}_2\text{O}_r + \text{O}_r \rightarrow \text{CH}_2\text{O} + 2\text{O}_r$ حالت گذار (TST)، با در نظر گرفتن تونل زنی مکانیک کوانتومی

در حالت کلی برای یک واکنش دو مولکولی مانند واکنش (۸) در فاز گازی داریم:



غلظت کمپلکس فعال در حین واکنش با لحاظ کردن قانون اثر جرم برای تعادل نشان داده شده قابل محاسبه است و از این رو می توان نوشت:

به منظور تأیید ساختار حالت گذار محاسبه های IRC انجام شده است. محاسبه های IRC، از ساختار بهینه شده ی حالت گذار آغاز و در دو مسیر رفت و برگشت واکنش پیش رفته است تا به حداقل قبل و بعد از ساختار حالت گذار برسد. در مسیر رفت و برگشت واکنش ۹۵ نقطه مشاهده شده است که مواد اولیه، حالت گذار و فرآورده ها را به هم مربوط می کنند.

۳-۴. خطای انطباق مجموعه پایه (BSSE)

فهم اصل BSSE مشکل نیست. بطوریکه وقتی محاسبه روی یک مولکول انجام می شود، انرژی بدست آمده با آن مجموعه پایه محدود شده است و در واقع انرژی بطور کامل بدست نیامده است. اگر یک محاسبه روی مولکول A، از کمپلکس A...B انجام شود و از توابع پایه ی هر دو مولکول با هم استفاده شود، انرژی حاصل شده از زمانی که مولکول A به تنهایی محاسبه شود، کمتر است.

$$[E(A)]_{AB} \leq [E(A)]_A$$

بنابراین، چگالی الکترون اطراف هر هسته می تواند با توابعی که به مرکزیت هسته دیگر است، توصیف شود. برای برطرف کردن این نقص بویژ- برناردی روش تصحیح Counterpoise را پیشنهاد دادند.

در اینجا خطای انطباق مجموعه پایه در ۱۵ سطح محاسباتی، محاسبه شده است، که نتایج آن در جدول ۱۹ خلاصه شده است. [۳۵-۳۷]

$$E_{\text{int}} = E(\text{AB}, r_c) - E(\text{A}, r_c) - E(\text{B}, r_c) \quad (1م)$$

$$E_{\text{int}} = E(\text{AB}, r_c)^{\text{AB}} - E(\text{A}, r_c)^{\text{AB}} - E(\text{B}, r_c)^{\text{AB}} \quad (2م)$$

$$E_{\text{int, cp}} = E(\text{AB}, r_c)^{\text{AB}} - E(\text{A}, r_c)^{\text{AB}} - E(\text{B}, r_c)^{\text{AB}} + E_{\text{def}} \quad (3م)$$

$$E_{\text{def}} = [E(\text{A}, r_c) - E(\text{A}, r_c)] + [E(\text{B}, r_c) - E(\text{B}, r_c)] \quad (4م)$$

$$K^{\ddagger} = \frac{[(CH_2O_2 - O_2)^{\ddagger}]}{[CH_2O_2][O_2]} \quad (5م)$$

بنابراین خواهیم داشت:

$$\text{سرعت} = K_B T/h \cdot q'_{(CH_2O_2-O_2)^{\ddagger}} / q_{(CH_2O_2)} q_{(O_2)} \cdot e^{-E_a/RT} \quad \text{در نتیجه داریم:}$$

$$[(CH_2O_2 - O_2)^{\ddagger}] = K^{\ddagger} [CH_2O_2][O_2] \quad (6م)$$

$$[CH_2O_2][O_2] \quad (7م)$$

همچنین از مقایسه این رابطه با قانون سرعت یک واکنش دو مولکولی، ثابت سرعت (k_2) به صورت زیر حاصل می‌شود:

$$q_{(CH_2O_2)} q_{(O_2)} \cdot e^{-E_a/RT} = K^{\ddagger} K_B T/h \cdot q'_{(CH_2O_2-O_2)^{\ddagger}} \quad (8م)$$

در اینجا با محاسبه پارامترهای مربوط به مواد اولیه، فرآورده‌ها و حالت‌گذار در محدوده دمایی ۲۹۸/۱۵ تا ۲۷۷۳/۱۵ کلونین ثابت سرعت واکنش ۸ محاسبه شده است. در جدول‌های ۲۰، ۲۱ و ۲۲ ثابت‌های سرعت این واکنش با سه روش HF و MP۲ و B۳LYP خلاصه شده‌اند.

طبق نظریه حالت‌گذار، سرعت یک واکنش شیمیایی متناسب است با تعداد کمپلکس فعالی که بتوانند در واحد زمان از سد انرژی پتانسیل سیستم عبور نمایند. همچنین نظریه حالت‌گذار بر مبنای فرضیه تعادل بنا شده است و حالت‌گذار از کمپلکس‌هایی تشکیل شده است که قبلاً جزء واکنش‌دهنده‌ها یا فرآورده‌ها بوده‌اند. کمپلکس فعال زمانی به مولکول‌های فرآورده تفکیک می‌شود که ارتعاشی مناسب (O_2) با دامنه بزرگ در نظر گرفته شود تا این کمپلکس را شکسته و به سوی فرآورده هدایت کند. بنابراین، ثابت تعادل K را می‌توان مستقیماً براساس توابع تقسیم و اختلاف انرژی حالت پایه CH_2O_2 و O_2 با جزء $(CH_2O_2 - O_2)^{\ddagger}$ بیان کرد.

جدول ۲۰- ثابت‌های سرعت واکنش ۸ در روش HF.

دما (K)	HF						داده تجربی
	6-31+G(d)	6-31++G(p,d)	6-311+G(d)	6-311++G(p,d)	cc-pVDZ	Aug-cc-pVDZ	
۲۹۸/۱۵	$1/3 \times 10^{-20}$	$7/17 \times 10^{-21}$	$8/83 \times 10^{-20}$	$7/96 \times 10^{-20}$	$1/98 \times 10^{-19}$	$1/15 \times 10^{-19}$	$2/46 \times 10^{-17}$
۳۷۳/۱۵	$1/78 \times 10^{-19}$	$1/9 \times 10^{-19}$	$8/47 \times 10^{-19}$	$7/71 \times 10^{-19}$	$1/63 \times 10^{-18}$	$1/3 \times 10^{-18}$	
۴۷۳/۱۵	$2/07 \times 10^{-18}$	$1/36 \times 10^{-18}$	$7/32 \times 10^{-18}$	$6/71 \times 10^{-18}$	$1/25 \times 10^{-17}$	$8/45 \times 10^{-18}$	
۵۷۳/۱۵	$1/25 \times 10^{-17}$	$8/58 \times 10^{-18}$	$3/66 \times 10^{-17}$	$3/37 \times 10^{-17}$	$1/25 \times 10^{-17}$	$4/9 \times 10^{-17}$	
۶۷۳/۱۵	$5/13 \times 10^{-17}$	$3/62 \times 10^{-17}$	$1/32 \times 10^{-16}$	$1/22 \times 10^{-16}$	$5/81 \times 10^{-17}$	$1/44 \times 10^{-16}$	
۷۷۳/۱۵	$1/63 \times 10^{-16}$	$1/17 \times 10^{-16}$	$3/81 \times 10^{-16}$	$3/54 \times 10^{-16}$	$1/99 \times 10^{-16}$	$4/1 \times 10^{-16}$	
۸۷۳/۱۵	$4/33 \times 10^{-16}$	$3/15 \times 10^{-16}$	$9/44 \times 10^{-16}$	$8/77 \times 10^{-16}$	$5/56 \times 10^{-16}$	1×10^{-15}	
۹۷۳/۱۵	$1/01 \times 10^{-15}$	$7/41 \times 10^{-16}$	$2/08 \times 10^{-15}$	$1/94 \times 10^{-15}$	$1/34 \times 10^{-15}$	$2/19 \times 10^{-15}$	
۱۰۷۳/۱۵	$2/12 \times 10^{-15}$	$1/57 \times 10^{-15}$	$4/19 \times 10^{-15}$	$3/9 \times 10^{-15}$	$2/89 \times 10^{-15}$	$4/39 \times 10^{-15}$	
۱۱۷۳/۱۵	$4/12 \times 10^{-15}$	$3/07 \times 10^{-15}$	$7/86 \times 10^{-15}$	$7/33 \times 10^{-15}$	$5/73 \times 10^{-15}$	$8/18 \times 10^{-15}$	
۱۲۷۳/۱۵	$7/51 \times 10^{-15}$	$5/61 \times 10^{-15}$	$1/39 \times 10^{-14}$	$1/3 \times 10^{-14}$	$1/06 \times 10^{-14}$	$1/44 \times 10^{-14}$	
۱۳۷۳/۱۵	$1/3 \times 10^{-14}$	$9/72 \times 10^{-15}$	$2/34 \times 10^{-14}$	$2/18 \times 10^{-14}$	$1/86 \times 10^{-14}$	$2/41 \times 10^{-14}$	
۱۴۷۳/۱۵	$2/14 \times 10^{-14}$	$1/61 \times 10^{-14}$	$3/78 \times 10^{-14}$	$3/53 \times 10^{-14}$	$3/1 \times 10^{-14}$	$3/89 \times 10^{-14}$	

ادامه جدول ۲۰.

۱۵۷۳/۱۵	$1/3 \times 10^{-14}$	$1/77 \times 10^{-14}$	$4/05 \times 10^{-14}$	$3/81 \times 10^{-14}$	$4/96 \times 10^{-14}$	$4/24 \times 10^{-14}$
۱۶۷۳/۱۵	$5/23 \times 10^{-14}$	$3/93 \times 10^{-14}$	$8/93 \times 10^{-14}$	$8/34 \times 10^{-14}$	$5/39 \times 10^{-14}$	$9/13 \times 10^{-14}$
۱۷۷۳/۱۵	$7/82 \times 10^{-14}$	$5/92 \times 10^{-14}$	$1/32 \times 10^{-13}$	$1/23 \times 10^{-13}$	$1/7 \times 10^{-13}$	$1/34 \times 10^{-13}$
۱۸۷۳/۱۵	$1/14 \times 10^{-13}$	$8/64 \times 10^{-14}$	$1/9 \times 10^{-13}$	$1/77 \times 10^{-13}$	$2/43 \times 10^{-13}$	$1/93 \times 10^{-13}$
۱۹۷۳/۱۵	$1/63 \times 10^{-13}$	$1/23 \times 10^{-13}$	$2/67 \times 10^{-13}$	$2/5 \times 10^{-13}$	$3/42 \times 10^{-13}$	$2/72 \times 10^{-13}$
۲۰۷۳/۱۵	$2/28 \times 10^{-13}$	$1/73 \times 10^{-13}$	$3/7 \times 10^{-13}$	$3/46 \times 10^{-13}$	$4/71 \times 10^{-13}$	$3/75 \times 10^{-13}$
۲۱۷۳/۱۵	$3/13 \times 10^{-13}$	$2/38 \times 10^{-13}$	$5/04 \times 10^{-13}$	$4/72 \times 10^{-13}$	$6/4 \times 10^{-13}$	$5/1 \times 10^{-13}$
۲۲۷۳/۱۵	$4/23 \times 10^{-13}$	$3/22 \times 10^{-13}$	$6/76 \times 10^{-13}$	$6/33 \times 10^{-13}$	$8/56 \times 10^{-13}$	$6/84 \times 10^{-13}$
۲۳۷۳/۱۵	$5/64 \times 10^{-13}$	$4/29 \times 10^{-13}$	$8/94 \times 10^{-13}$	$8/37 \times 10^{-13}$	$1/13 \times 10^{-12}$	$9/04 \times 10^{-13}$
۲۴۷۳/۱۵	$7/42 \times 10^{-13}$	$5/65 \times 10^{-13}$	$1/17 \times 10^{-12}$	$1/09 \times 10^{-12}$	$1/47 \times 10^{-12}$	$1/18 \times 10^{-12}$
۲۵۷۳/۱۵	$9/65 \times 10^{-13}$	$7/35 \times 10^{-13}$	$1/51 \times 10^{-12}$	$1/41 \times 10^{-12}$	$1/9 \times 10^{-12}$	$1/52 \times 10^{-12}$
۲۶۷۳/۱۵	$1/24 \times 10^{-12}$	$9/46 \times 10^{-13}$	$1/93 \times 10^{-12}$	$1/81 \times 10^{-12}$	$2/42 \times 10^{-12}$	$1/95 \times 10^{-12}$
۲۷۷۳/۱۵	$1/58 \times 10^{-12}$	$1/21 \times 10^{-12}$	$2/45 \times 10^{-12}$	$2/29 \times 10^{-12}$	$3/06 \times 10^{-12}$	$2/46 \times 10^{-12}$

* واحد ثابت سرعت در اینجا بر حسب $\text{cm}^2 \cdot \text{molecule}^{-1} \cdot \text{s}^{-1}$ است. [۳۲، ۳۱].

جدول ۲۱- ثابت‌های سرعت واکنش ۸ در روش MP۲.

دما (K)	MP۲				داده تجربی
	6-31+G(d)	6-31++G(p,d)	6-311+G(d)	cc-pVDZ	
۲۹۸/۱۵	$3/12 \times 10^{-21}$	$1/3 \times 10^{-21}$	$5/59 \times 10^{-21}$	$8/38 \times 10^{-23}$	$2/46 \times 10^{-17}$
۳۷۳/۱۵	$5/62 \times 10^{-20}$	$2/87 \times 10^{-20}$	$9/03 \times 10^{-20}$	$3/06 \times 10^{-21}$	
۴۷۳/۱۵	$8/09 \times 10^{-19}$	$4/9 \times 10^{-19}$	$1/19 \times 10^{-18}$	$7/91 \times 10^{-20}$	
۵۷۳/۱۵	$5/55 \times 10^{-18}$	$3/76 \times 10^{-18}$	$7/74 \times 10^{-18}$	$7/83 \times 10^{-19}$	
۶۷۳/۱۵	$2/42 \times 10^{-17}$	$1/8 \times 10^{-17}$	$3/32 \times 10^{-17}$	$4/46 \times 10^{-18}$	
۷۷۳/۱۵	$8/3 \times 10^{-17}$	$6/4 \times 10^{-17}$	$1/09 \times 10^{-16}$	$1/78 \times 10^{-17}$	
۸۷۳/۱۵	$2/29 \times 10^{-16}$	$1/85 \times 10^{-16}$	$2/95 \times 10^{-16}$	$5/6 \times 10^{-17}$	
۹۷۳/۱۵	$5/5 \times 10^{-16}$	$4/57 \times 10^{-16}$	$6/96 \times 10^{-16}$	$1/48 \times 10^{-16}$	
۱۰۷۳/۱۵	$1/18 \times 10^{-15}$	$1/01 \times 10^{-15}$	$1/48 \times 10^{-15}$	$3/42 \times 10^{-16}$	

ادامه جدول ۲۱.

۱۱۷۳/۱۵	$۲/۳۴ \times 10^{-15}$	$۲/۰۴ \times 10^{-15}$	$۲/۹ \times 10^{-15}$	$۷/۱۷ \times 10^{-16}$
۱۲۷۳/۱۵	$۴/۳۲ \times 10^{-15}$	$۳/۸۳ \times 10^{-15}$	$۵/۳۱ \times 10^{-15}$	$۱/۳۹ \times 10^{-15}$
۱۳۷۳/۱۵	$۷/۵۴ \times 10^{-15}$	$۶/۷۹ \times 10^{-15}$	$۹/۲۱ \times 10^{-15}$	$۲/۵۲ \times 10^{-15}$
۱۴۷۳/۱۵	$۱/۲۶ \times 10^{-14}$	$۱/۱۵ \times 10^{-14}$	$۱/۵۳ \times 10^{-14}$	$۴/۳۳ \times 10^{-15}$
۱۵۷۳/۱۵	$۱/۴۲ \times 10^{-14}$	$۱/۳ \times 10^{-14}$	$۱/۷۱ \times 10^{-14}$	$۵/۱۶ \times 10^{-15}$
۱۶۷۳/۱۵	$۳/۱۱ \times 10^{-14}$	$۲/۹ \times 10^{-14}$	$۳/۷۵ \times 10^{-14}$	$۹/۳۶ \times 10^{-15}$
۱۷۷۳/۱۵	$۴/۶۸ \times 10^{-14}$	$۴/۳۹ \times 10^{-14}$	$۵/۶۲ \times 10^{-14}$	$۱/۴۵ \times 10^{-14}$
۱۸۷۳/۱۵	$۶/۸۶ \times 10^{-14}$	$۶/۴۸ \times 10^{-14}$	$۸/۲۱ \times 10^{-14}$	$۲/۱۸ \times 10^{-14}$
۱۹۷۳/۱۵	$۹/۸۳ \times 10^{-14}$	$۹/۳۴ \times 10^{-14}$	$۱/۱۷ \times 10^{-13}$	$۳/۷۴ \times 10^{-14}$
۲۰۷۳/۱۵	$۱/۳۸ \times 10^{-13}$	$۱/۳۲ \times 10^{-13}$	$۱/۶۴ \times 10^{-13}$	$۵/۳۱ \times 10^{-14}$
۲۱۷۳/۱۵	$۱/۹ \times 10^{-13}$	$۱/۸۳ \times 10^{-13}$	$۲/۲۶ \times 10^{-13}$	$۷/۴۱ \times 10^{-14}$
۲۲۷۳/۱۵	$۲/۵۸ \times 10^{-13}$	$۲/۴۹ \times 10^{-13}$	$۳/۰۶ \times 10^{-13}$	$۱/۰۱ \times 10^{-13}$
۲۳۷۳/۱۵	$۳/۴۵ \times 10^{-13}$	$۳/۳۴ \times 10^{-13}$	$۴/۰۸ \times 10^{-13}$	$۱/۳۷ \times 10^{-13}$
۲۴۷۳/۱۵	$۴/۵۵ \times 10^{-13}$	$۴/۴۲ \times 10^{-13}$	۷×10^{-13}	$۱/۸۲ \times 10^{-13}$
۲۵۷۳/۱۵	$۵/۹۳ \times 10^{-13}$	$۵/۷۹ \times 10^{-13}$	$۵/۹۳ \times 10^{-13}$	$۲/۳۹ \times 10^{-13}$
۲۶۷۳/۱۵	$۷/۶۴ \times 10^{-13}$	$۷/۴۸ \times 10^{-13}$	$۹/۰۱ \times 10^{-13}$	$۳/۱۱ \times 10^{-13}$
۲۷۷۳/۱۵	$۹/۷۴ \times 10^{-13}$	$۹/۵۷ \times 10^{-13}$	$۱/۱۵ \times 10^{-12}$	$۳/۹۷ \times 10^{-13}$

* واحد ثابت سرعت در اینجا بر حسب $\text{cm}^2 \cdot \text{molecule}^{-1} \cdot \text{s}^{-1}$ است. [۳۱، ۳۲].

جدول ۲۲- ثابت‌های سرعت واکنش ۸ در روش B3LYP.

دما (K)	B3LYP						داده تجربی
	6-31+G(d)	6-31++G(p,d)	6-311+G(d)	6-311++G(p,d)	cc-pVDZ	Aug-cc-pVDZ	
۲۹۸/۱۵	$۳/۲۱ \times 10^{-17}$	$۳/۰۴ \times 10^{-17}$	$۵/۳۵ \times 10^{-17}$	$۴/۷۶ \times 10^{-17}$	$۲/۹۶ \times 10^{-17}$	$۳/۱۲ \times 10^{-17}$	$۲/۴۶ \times 10^{-17}$
۳۷۳/۱۵	$۱/۵۸ \times 10^{-16}$	$۱/۵۱ \times 10^{-16}$	$۲/۵ \times 10^{-16}$	$۲/۲۴ \times 10^{-16}$	$۱/۴۸ \times 10^{-16}$	$۱/۵۶ \times 10^{-16}$	
۴۷۳/۱۵	$۸/۱۱ \times 10^{-16}$	$۷/۷۴ \times 10^{-16}$	$۱/۲۲ \times 10^{-15}$	$۱/۱۱ \times 10^{-15}$	$۷/۶۷ \times 10^{-16}$	$۸/۱ \times 10^{-16}$	
۵۷۳/۱۵	$۲/۹۳ \times 10^{-15}$	$۲/۸۱ \times 10^{-15}$	$۴/۳۱ \times 10^{-15}$	$۳/۹۳ \times 10^{-15}$	$۲/۸ \times 10^{-15}$	$۲/۹۶ \times 10^{-15}$	
۶۷۳/۱۵	$۸/۵۰ \times 10^{-15}$	$۸/۱۴ \times 10^{-15}$	$۱/۲۲ \times 10^{-14}$	$۱/۱۲ \times 10^{-14}$	$۸/۱۳ \times 10^{-15}$	$۸/۶۱ \times 10^{-15}$	

ادامه جدول ۲۲.

۷۷۳/۱۵	$2/10 \times 10^{-14}$	$2/02 \times 10^{-14}$	$2/99 \times 10^{-14}$	$2/74 \times 10^{-14}$	$2/02 \times 10^{-14}$	$2/14 \times 10^{-14}$
۸۷۳/۱۵	$4/62 \times 10^{-14}$	$4/44 \times 10^{-14}$	$6/5 \times 10^{-14}$	$5/98 \times 10^{-14}$	$4/44 \times 10^{-14}$	$4/71 \times 10^{-14}$
۹۷۳/۱۵	$9/28 \times 10^{-14}$	$8/92 \times 10^{-14}$	$1/3 \times 10^{-13}$	$1/19 \times 10^{-13}$	$8/93 \times 10^{-14}$	$9/49 \times 10^{-14}$
۱۰۷۳/۱۵	$1/73 \times 10^{-13}$	$1/67 \times 10^{-13}$	$2/41 \times 10^{-13}$	$2/22 \times 10^{-13}$	$1/67 \times 10^{-13}$	$1/78 \times 10^{-13}$
۱۱۷۳/۱۵	$2/06 \times 10^{-13}$	$2/94 \times 10^{-13}$	$4/22 \times 10^{-13}$	$3/89 \times 10^{-13}$	$2/95 \times 10^{-13}$	$3/14 \times 10^{-13}$
۱۲۷۳/۱۵	$5/13 \times 10^{-13}$	$4/94 \times 10^{-13}$	$7/05 \times 10^{-13}$	$6/51 \times 10^{-13}$	$4/96 \times 10^{-13}$	$5/28 \times 10^{-13}$
۱۳۷۳/۱۵	$8/28 \times 10^{-13}$	$7/97 \times 10^{-13}$	$1/13 \times 10^{-12}$	$1/05 \times 10^{-12}$	8×10^{-13}	$8/52 \times 10^{-13}$
۱۴۷۳/۱۵	$1/28 \times 10^{-12}$	$1/24 \times 10^{-12}$	$1/76 \times 10^{-12}$	$1/63 \times 10^{-12}$	$1/25 \times 10^{-12}$	$1/33 \times 10^{-12}$
۱۵۷۳/۱۵	$1/37 \times 10^{-12}$	$1/33 \times 10^{-12}$	$1/86 \times 10^{-12}$	$1/74 \times 10^{-12}$	$1/37 \times 10^{-12}$	$1/46 \times 10^{-12}$
۱۶۷۳/۱۵	$2/86 \times 10^{-12}$	$2/76 \times 10^{-12}$	$3/88 \times 10^{-12}$	$3/6 \times 10^{-12}$	$2/3 \times 10^{-12}$	$2/95 \times 10^{-12}$
۱۷۷۳/۱۵	$4/11 \times 10^{-12}$	$3/97 \times 10^{-12}$	$5/57 \times 10^{-12}$	$5/16 \times 10^{-12}$	$3/35 \times 10^{-12}$	$4/25 \times 10^{-12}$
۱۸۷۳/۱۵	$5/80 \times 10^{-12}$	$5/59 \times 10^{-12}$	$7/83 \times 10^{-12}$	$7/25 \times 10^{-12}$	$4/76 \times 10^{-12}$	$5/98 \times 10^{-12}$
۱۹۷۳/۱۵	$8/01 \times 10^{-12}$	$7/72 \times 10^{-12}$	$1/08 \times 10^{-11}$	1×10^{-11}	$7/76 \times 10^{-12}$	$8/28 \times 10^{-12}$
۲۰۷۳/۱۵	$1/09 \times 10^{-11}$	$1/05 \times 10^{-11}$	$1/47 \times 10^{-11}$	$1/36 \times 10^{-11}$	$1/06 \times 10^{-11}$	$1/13 \times 10^{-11}$
۲۱۷۳/۱۵	$1/46 \times 10^{-11}$	$1/41 \times 10^{-11}$	$1/96 \times 10^{-11}$	$1/82 \times 10^{-11}$	$1/41 \times 10^{-11}$	$1/51 \times 10^{-11}$
۲۲۷۳/۱۵	$1/93 \times 10^{-11}$	$1/86 \times 10^{-11}$	$2/59 \times 10^{-11}$	$2/4 \times 10^{-11}$	$1/87 \times 10^{-11}$	$1/99 \times 10^{-11}$
۲۳۷۳/۱۵	$2/52 \times 10^{-11}$	$2/43 \times 10^{-11}$	$3/37 \times 10^{-11}$	$3/13 \times 10^{-11}$	$2/44 \times 10^{-11}$	$2/6 \times 10^{-11}$
۲۴۷۳/۱۵	$3/25 \times 10^{-11}$	$3/13 \times 10^{-11}$	$4/35 \times 10^{-11}$	$4/04 \times 10^{-11}$	$3/15 \times 10^{-11}$	$3/36 \times 10^{-11}$
۲۵۷۳/۱۵	$4/15 \times 10^{-11}$	4×10^{-11}	$5/55 \times 10^{-11}$	$5/15 \times 10^{-11}$	$4/03 \times 10^{-11}$	$4/3 \times 10^{-11}$
۲۶۷۳/۱۵	$5/25 \times 10^{-11}$	$5/07 \times 10^{-11}$	$7/02 \times 10^{-11}$	$6/51 \times 10^{-11}$	$5/09 \times 10^{-11}$	$5/44 \times 10^{-11}$
۲۷۷۳/۱۵	$6/59 \times 10^{-11}$	$6/35 \times 10^{-11}$	$8/79 \times 10^{-11}$	$8/16 \times 10^{-11}$	$6/39 \times 10^{-11}$	$6/62 \times 10^{-11}$

* واحد ثابت سرعت در اینجا بر حسب $s^{-1} \cdot \text{molecule}^{-1} \cdot \text{cm}^3$ است. [۳۱، ۳۲].

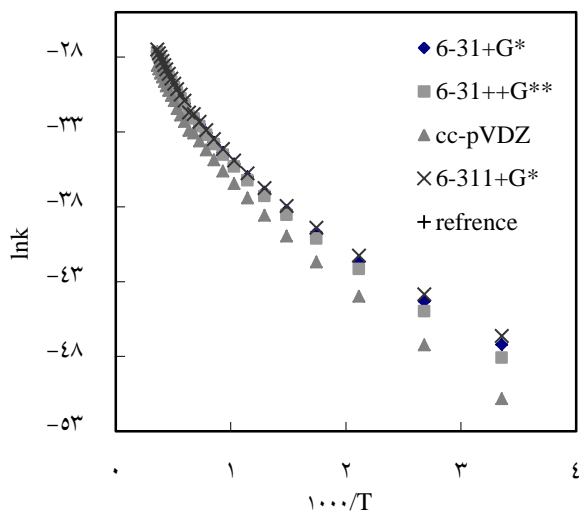
به ترتیب از عرض از مبدأ و شیب خط نمودار به دست می آیند. وابستگی دمایی برخی از واکنش‌ها برای نمودار $\ln k$ بر حسب $1/T$ یک خط راست نیست. با این حال، باز هم می توان یک انرژی فعال سازی به صورت زیر تعریف کرد:

$$E_a = RT^2(d \ln k/dT) \quad (1م)$$

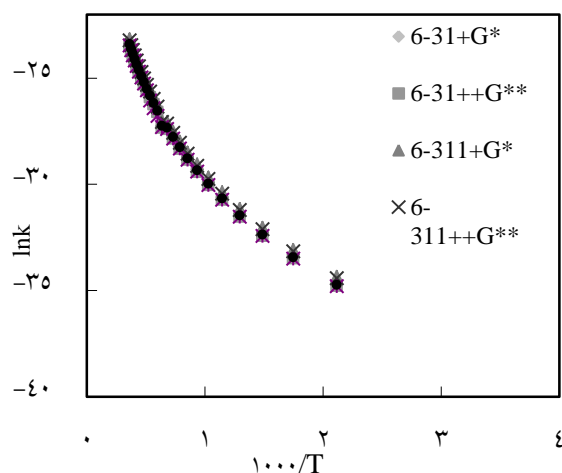
به طور تجربی مشخص شده است که بیشتر در واکنش‌ها، نمودار $\ln k$ بر حسب $1/T$ یک خط راست است، بنابراین معادله‌ی آرنیوس را به صورت زیر نوآرایی می کنند [۳۸]:

$$\ln k = \ln A - E_a/RT \quad (9م)$$

پارامترهای A و E_a که پارامترهای آرنیوس نامیده می شوند،



شکل ۹- ثابت سرعت در محدوده‌ی دمایی ۲۹۸/۱۵ تا ۲۷۳/۱۵ در روش MP۲.

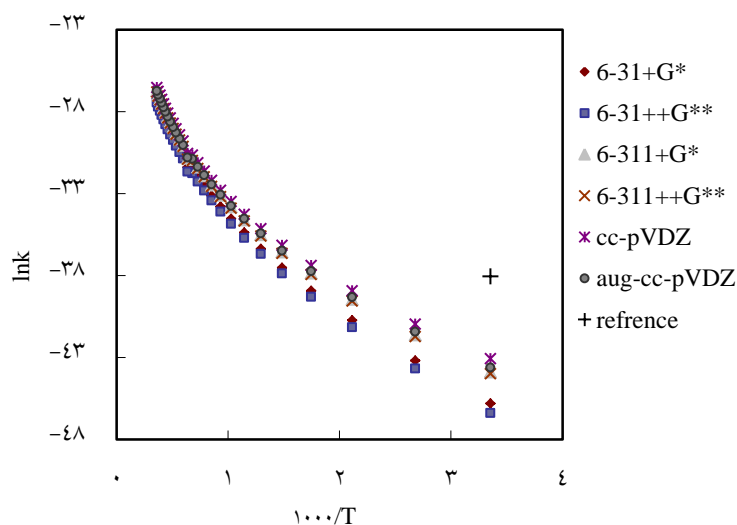


شکل ۱۰- ثابت سرعت در محدوده‌ی دمایی ۲۹۸/۱۵ تا ۲۷۳/۱۵ در روش B3LYP.

معادله‌ی ۱۰ از معادله‌ی ۹ کلی‌تر است، زیرا از آن نتیجه می‌شود که E_a باید از شیب (در دمای مورد نظر) نموداری از $\ln k$ برحسب $1/T$ به دست آید، حتی اگر نمودار آرنیوس یک خط راست را ارائه ندهد. گاهی رفتار غیرآرنیوسی نشانه‌ی این است که تونل‌زنی مکانیک کوانتومی نقش به‌سزایی در واکنش ایفا می‌کند [۳۸]. هنگامی که دما به قدری کم در نظر گرفته شود، که تعداد بسیار کمی از مولکول‌های واکنش‌دهنده برسد انرژی فعال سازی غلبه کنند فرآیند غالب تونل‌زنی مکانیک کوانتومی است. نمودارهای $\ln k$ برحسب $1/T$ برای واکنش ۸ در شکل‌های ۸، ۹ و ۱۰ با سه روش HF و MP۲ و B3LYP رسم شده‌اند که با داده‌ی تجربی موجود در دمای ۲۹۸/۱۵ کلین مقایسه شده‌اند. در اینجا اثر تونل‌زنی نیز لحاظ شده است که از معادله زیر برای محاسبه آن استفاده شده است.

$$Q_{\text{tunneling}} = 1 - \frac{1}{24} \left[\frac{h\nu_s}{k_B T} \right]^2 \left[1 + \frac{k_B T}{E_a} \right] \quad (11م)$$

به طوری که ν_s ، فرکانس منفی مربوط به حالت گذار است [۴۳].



شکل ۸- ثابت سرعت در محدوده‌ی دمایی ۲۹۸/۱۵ تا ۲۷۳/۱۵ در روش HF.

جدول ۲۳- ثابت‌های سرعت نظری و منطبق شده.

ک (نظری)	ک (منطبق شده)
$2/96 \times 10^{-17}$	$2/96 \times 10^{-17}$
$1/48 \times 10^{-16}$	$1/53 \times 10^{-16}$
$7/67 \times 10^{-16}$	$8/15 \times 10^{-16}$
$2/8 \times 10^{-15}$	$3/01 \times 10^{-15}$
$8/13 \times 10^{-15}$	$8/78 \times 10^{-15}$
$2/02 \times 10^{-14}$	$2/17 \times 10^{-14}$
$4/44 \times 10^{-14}$	$4/78 \times 10^{-14}$
$8/93 \times 10^{-14}$	$9/59 \times 10^{-14}$
$1/67 \times 10^{-13}$	$1/78 \times 10^{-13}$
$2/95 \times 10^{-13}$	$3/14 \times 10^{-13}$
$4/96 \times 10^{-13}$	$5/25 \times 10^{-13}$
8×10^{-13}	$8/43 \times 10^{-13}$
$1/25 \times 10^{-12}$	$1/30 \times 10^{-12}$
$1/37 \times 10^{-12}$	$1/96 \times 10^{-12}$
$2/3 \times 10^{-12}$	$2/87 \times 10^{-12}$
$3/35 \times 10^{-12}$	$4/12 \times 10^{-12}$
$4/76 \times 10^{-12}$	$5/77 \times 10^{-12}$
$7/76 \times 10^{-12}$	$7/95 \times 10^{-12}$
$1/06 \times 10^{-11}$	$1/07 \times 10^{-11}$
$1/41 \times 10^{-11}$	$1/43 \times 10^{-11}$
$1/87 \times 10^{-11}$	$1/89 \times 10^{-11}$
$2/44 \times 10^{-11}$	$2/46 \times 10^{-11}$
$3/15 \times 10^{-11}$	$3/16 \times 10^{-11}$
$4/03 \times 10^{-11}$	$4/03 \times 10^{-11}$
$5/09 \times 10^{-11}$	$5/07 \times 10^{-11}$
$6/39 \times 10^{-11}$	$6/34 \times 10^{-11}$

همانگونه که نمودارهای بالا نشان می‌دهند، $\ln k$ بر حسب $1/T$ رفتاری غیرآرنیوسی دارد. با نگاهی کلی به واکنش ۸ ملاحظه می‌شود که رادیکال CH_2O_2 با اینکه رادیکال و فعال است اما هسته دوستی ضعیف است (به دلیل کمبود الکترون در اکسیژن). در واکنش‌های اتمسفری که اوزون یکی از واکنش‌دهنده‌ها را تشکیل می‌دهد، اوزون با از دست دادن یک الکترون (در برابر $h\nu$ یا گرما) و تبدیل شدن به یک رادیکال فعال، آغازگر واکنش‌ها می‌شود. در دماهای پایین به ندرت این اتفاق می‌افتد و واکنش مسیر عادی خود را با مولکول اوزون پیش می‌برد. اما در دماهای بالا به دلیل راحت تر رادیکالی شدن اوزون، واکنش مسیر خود را در جهتی پیش می‌برد که رادیکال اوزون نقش مؤثرتری دارد. بنابراین با افزایش دما واکنش مسیر خود را سریع تر از حالت عادی طی می‌کند و هم‌انگونه که در نمودارهای بالا مشاهده می‌شود تأثیر دما به گونه‌ای است که $\ln k$ بر حسب $1/T$ غیرخطی شده است و شکل غیرآرنیوسی به خود گرفته است. هم چنین اثر تونل‌زنی در دماهای پایین تأثیر بیشتری دارد و در دماهای بالا به دلیل افزایش تعداد مولکول‌های دارای انرژی لازم برای عبور از سد انرژی، اثر آن کاهش می‌یابد و کران آن به سوی یک میل می‌کند.

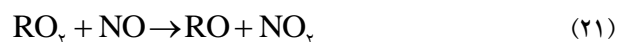
$$\lim_{T \rightarrow \infty} Q_{\text{tunneling}} = 1$$

$$T \rightarrow \infty$$

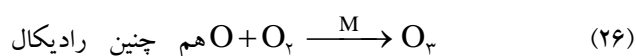
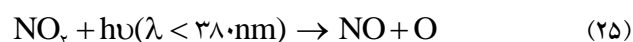
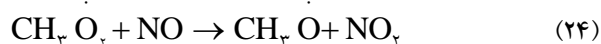
در اینجا با منطبق کردن ثابت‌های سرعت و انرژی فعال‌سازی در محدوده دمایی $298/15$ تا $2773/15$ کلونین در معادله زیر، پارامترهای n و B در سطح محاسباتی B3LYP/cc-pVDZ (بدلیل انطباق خوب با داده‌ی تجربی در $298/15$) با نرم افزار SigmaPlot ۸/۰ محاسبه شده‌اند.

$$k(T) = B T^n e^{-E/RT} \quad (12م)$$

در جدول ۲۳ و شکل ۱۱ داده‌های بدست آمده از محاسبات نظری و هم چنین داده‌های منطبق شده ارائه شده است.



وجود اوزون در تروپوسفر با واکنش رادیکال CH_3O_2 و NO به واسطه واکنش‌های زیر ارتباط دارد [۴۵ و ۱۰-۶]:



CH_3O_2 در تروپوسفر در نتیجه واکنش‌های زیر مصرف می‌شود [۷-۶]:

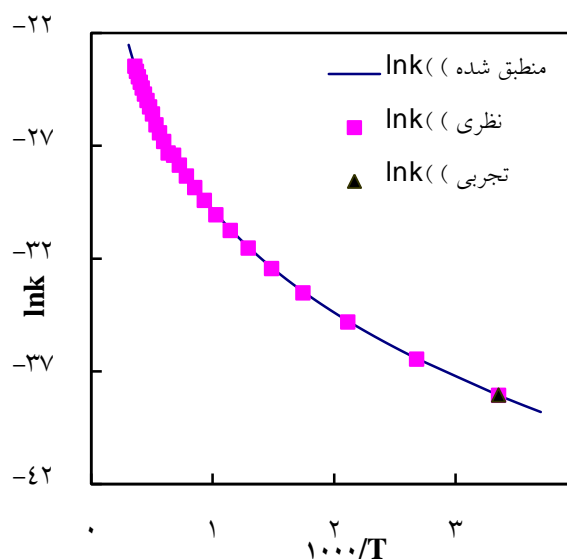


ثابت سرعت واکنش (۲۴) در محدوده‌ی دمایی ۱۹۹ تا ۴۲۹ کلوین به صورت زیر گزارش شده است [۶].

$$k(T) = \left\{ (2/8 \pm 0/5) \times 10^{-12} \exp(285 \pm 60)/T \right\}$$

محاسبه‌های انجام شده در سطح محاسباتی B3LYP/cc-pVDZ که در جدول (۲۶) نشان داده شده است، نیز این موضوع را تأیید می‌کنند که مولکول NO در مجاورت CH_3O_2 واکنش را به سوی فرآورده‌های واکنش (۲۴) هدایت می‌کند، و از انجام واکنش (۸) جلوگیری می‌کند و اثر بازدارندگی را بر واکنش (۸) اعمال می‌کنند.

واکنش‌های زیر و ثابت سرعت آنها نشان می‌دهد که در صورت وجود این ترکیب‌ها در محیط، واکنش (۲۴) را به سوی دیگری جهت می‌دهند. واکنش‌های زیر از این جهت قابل بررسی‌اند که وجود آنها اثر بازدارندگی NO بر واکنش (۸) را از بین می‌برند و NO را در جایی دیگر مصرف می‌کنند و فرآورده‌هایی را به



شکل ۱۱- ثابت سرعت داده‌های تجربی، نظری و منطبق شده.

در جدول ۲۴ و معادله ۱۳ پارامترهای سینتیکی منطبق شده برای $k(T)$ از معادله ۷ آورده شده است:

جدول ۲۴- پارامترهای سینتیکی منطبق شده برای $k(T)$ از معادله (۷).

K(۲۹۸/۱۵)	E_a	B	n
($\text{cm}^3 \cdot \text{molecule}^{-1} \cdot \text{s}^{-1}$)	($\text{J} \cdot \text{mol}^{-1}$)	($\text{cm}^3 \cdot \text{molecule}^{-1} \cdot \text{s}^{-1}$)	
$2/96 \times 10^{-17}$	۳۹۳۹/۱۹	$3/6618 \times 10^{-31}$	۵/۸۹۹۹

که معادله‌ای به صورت زیر بدست می‌آید:

$$k(T) = \left(3/6618 \times 10^{-31} \right) T^{5/8999} \exp\left(-\frac{4733}{802/T} \right) \quad (13)$$

$\text{cm}^3 \cdot \text{molecule}^{-1} \cdot \text{s}^{-1}$

۳-۶. بررسی اثر بازدارندگی مولکول NO بر روی واکنش $\text{CH}_3\text{O}_2 + \text{O}_3 \rightarrow \text{P}$

شیمی اتمسفری رادیکال‌های پروکسی شامل چندین واکنش رقابتی است که به توزیع مقدار ناچیز مربوط به سازنده‌های اتمسفری بستگی دارد [۸]. واکنش‌های رادیکال‌های آلکیل پروکسی با نیتریک اکسیدها، نقش اساسی در غلظت اوزون تروپوسفری دارد [۳۸-۴۳]. در حضور غلظت‌های بالای NO_x ، رادیکال‌های RO_2 عمدتاً با NO و NO_2 واکنش می‌دهند [۴۴ و ۱۰-۷]:

وجود می‌آورند که مانع انجام واکنش (۸) نمی‌شوند
[۴۶].

جدول ۲۵- واکنش‌های بازمانده مولکول NO.

واکنش	K(۲۹۸/۱۵)
$\text{NO} + \text{N} \rightarrow \text{N}_2 + \text{O}$	$1/91 \times 10^{-11}$
$\text{CH}_3\text{O} + \text{NO} \rightarrow \text{CH}_3\text{ONO}$	$3/6 \times 10^{-11}$
$\text{NO} + \text{O} \rightarrow \text{NO}_2$	$3/0 \times 10^{-11}$
$\text{NO} + \text{NO}_2 \rightarrow \text{N}_2\text{O}_3$	$7/9 \times 10^{-12}$

جدول ۲۶. ثابت‌های سرعت واکنش (۲۱) در سطح محاسباتی B3LYP/cc-pVDZ.

داده تجربی	B3LYP/cc-pVDZ	دما(K)
$7/7 \times 10^{-12}$	$1/17 \times 10^{-13}$	۲۹۸/۱۵
	$3/79 \times 10^{-13}$	۳۷۳/۱۵
	$1/3 \times 10^{-12}$	۴۷۳/۱۵
	$3/48 \times 10^{-12}$	۵۷۳/۱۵
	$7/93 \times 10^{-12}$	۶۷۳/۱۵
	$1/61 \times 10^{-11}$	۷۷۳/۱۵
	$2/98 \times 10^{-11}$	۸۷۳/۱۵
	$5/17 \times 10^{-11}$	۹۷۳/۱۵
	$8/49 \times 10^{-11}$	۱۰۷۳/۱۵
	$1/33 \times 10^{-10}$	۱۱۷۳/۱۵
	$2/02 \times 10^{-10}$	۱۲۷۳/۱۵
	$2/95 \times 10^{-10}$	۱۳۷۳/۱۵
	$4/21 \times 10^{-10}$	۱۴۷۳/۱۵
	$4/25 \times 10^{-10}$	۱۵۷۳/۱۵
	$8/01 \times 10^{-10}$	۱۶۷۳/۱۵
	$1/07 \times 10^{-9}$	۱۷۷۳/۱۵
	$1/41 \times 10^{-9}$	۱۸۷۳/۱۵
	$1/84 \times 10^{-9}$	۱۹۷۳/۱۵
	$2/36 \times 10^{-9}$	۲۰۷۳/۱۵
	$2/99 \times 10^{-9}$	۲۱۷۳/۱۵
	$3/75 \times 10^{-9}$	۲۲۷۳/۱۵
	$4/65 \times 10^{-9}$	۲۳۷۳/۱۵

۲۴۷۳/۱۵	$۵/۷۳ \times ۱۰^{-۹}$	
۲۵۷۳/۱۵	$۶/۹۹ \times ۱۰^{-۹}$	
۲۶۷۳/۱۵	$۸/۴۷ \times ۱۰^{-۹}$	
۲۷۷۳/۱۵	$۱/۰۲ \times ۱۰^{-۸}$	

* واحد ثابت سرعت در اینجا بر حسب $\text{cm}^3 \cdot \text{molecule}^{-1} \cdot \text{s}^{-1}$ است. [۶].

۷. مراجع

- G.K. Moortgat, M.J. Molina, *Chemical Kinetics and Photochemical Data for Use in Stratospheric Modeling, National Aeronautics and Space Administration (NASA)*, (2000).
- [22] W.B. DeMore, S.P. Sander, C.J. Howard, A.R. Ravishankara, D.M. Golden, C.E. Kolb, R.F. Hampson, M.J. Kurylo, M.J. Molina, *Chemical Kinetics and Photochemical Data for Use in Stratospheric Modeling, National Aeronautics and Space Administration (NASA)*, (1997).
- [23] W.B. DeMore, S.P. Sander, D.M. Golden, R.F. Hampson, M.J. Kurylo, C.J. Howard, A.R. Ravishankara, C.J. Kolb, M.J. Molina, *Chemical Kinetics and Photochemical Data for Use in Stratospheric Modeling, Jet Propulsion Laboratory (JPL) Publication*, (2006).
- [24] E. Henon, F. Bohr, A. Chakir, J. Brion, *Chem. Phys. Lett.* 264 (1997) 557.
- [25] A.F. Jalbout, *J. Mole. Stru. (TheoChem)*, 617 (2002) 5.
- [26] P.Y. Ayala, H.B. Schlegel, *J. Chem. Phys.*, 107 (1997) 375.
- [27] N.J. Kim, *Bull. Korean Chem. Soc.*, 27 (2006) 1009.
- [28] G. Rauhut, P. Pulay, *J. Phys. Chem.*, 99 (1995) 3093.
- [29] P.E. Peterson, M. Abu-Omar, T.W. Johnson, R. Parham, D. Goldin, C. Henry, A. Cook, K.M. Dunn, *J. Phys. Chem.*, 99 (1995) 5927.
- [30] M.P. Andersson and P. Uvdal, *J. Phys. Chem. A*, 109 (2005) 2937.
- [31] P. Sinha, S.E. Boesch, C. Gu, R.A. Wheeler, A.K. Wilson, *J. Phys. Chem. A*, 108 (2004) 9213.
- [32] P.L. Fast, J. Corchado, M.L. Sanchez, D.G. Truhlar, *J. Phys. Chem. A*, 103 (1999) 3139.
- [33] National Institute of Standards and Technology (NIST). Computational Chemistry Comparison and Benchmark Data Base (CCCBDB). Available from: <http://srdata.nist.gov/cccbdb/>.
- [34] A.P. Scott, L. Radom, *J. Phys. Chem.* 100 (1996) 16502.
- [1] B.C. Garrett, D.G. Truhlar, *J. Phys. Chem.*, 83 (1979) 2921.
- [2] T. Hashimoto, S. Iwata, *J. Phys. Chem. A*, 106 (2002) 2652.
- [3] D.R. Lide, *CRC Handbook of Chemistry and Physics*, 85th ed, (2005).
- [4] I.R. Slagle, D. Gutman, *J. Am. Chem. Soc.*, 107 (1985) 5342.
- [5] J.M. Anglada, S. Olivella, A. Sole, *J. Phys. Chem. A*, 110 (2006) 6073.
- [6] A. Bacak, M.W. Bardwell, M.T. Raventos, C.J. Percival, G. Sanchez-Reyna, D.E. Shallcross, *J. Phys. Chem. A*, 108 (2004) 10681.
- [7] P.W. Villalta, L.G. Huey, C.J. Howard, *J. Phys. Chem.*, 99 (1995) 12829.
- [8] A. Lesar, M. Hodošček, E. Drougas, A.M. Kosmas, *J. Phys. Chem. A*, 110 (2006) 7898.
- [9] K.W. Scholtens, B.M. Messer, Ch.D. Cappa, M.J. Elrod, *J. Phys. Chem. A*, 103 (1999) 4378.
- [10] R. Slmonaitls, J. Helcklen, *J. Phys. Chem.*, 78 (1974) 2417.
- [11] R. Slmonaitls, J. Helcklen, *J. Phys. Chem.*, 77 (1973) 1932.
- [12] G.S. Tyndall, T.J. Wallington, J.C. Ball, *J. Phys. Chem. A*, 102 (1998) 2547.
- [13] R. Slmonaitls, J. Helcklen, *J. Phys. Chem.* 79 (1975) 298.
- [14] H. R. Khakdaman, N. S. Matin, and R. Khodafarin, *J. Sci. Eng.*, 14 (2002) 189.
- [15] G.A. Bogdanchikov, A.V. Baklanov, D. H. Parker, *Chem. Phys. Lett.* 385 (2004) 486.
- [16] M.J. Pilling, M.J.C. Smith, *J. Phys. Chem.* 89 (1985) 4713.
- [17] P. Ase, W. Bock, A. Snelson, *J. Phys. Chem.* 90 (1986) 2099.
- [18] C.J. Hochenadel, J.A. Ghormley, J.W. Boyle, P.J. Ogren, *J. Phys. Chem.* 81 (1977) 3.
- [19] R.X. Fernandes, K. Luther, J. Troe, *J. Phys. Chem. A*, 110 (2006) 4442.
- [20] F. Louis, T.C. Allison, C.A. Gonzalez, J.P. Sawerysyn, *J. Phys. Chem. A*, 105 (2001) 4284.
- [21] R.R. Friedl, W.B. DeMore, S.P. Sander, C.J. Howard, A.R. Ravishankara, D.M. Golden, C.E. Kolb, R.F. Hampson, M.J. Kurylo, R.F. Hampson, R.E. Huie,

- [41] H. Koussa, M. Bahri, N. Jaidane, Z. Ben Lakhdar, *J. Mole. Stru. (TheoChem)*, 770 (2006) 149.
- [42] J.I. Steinfeld, J.S. Francisco, W.L. Hase, *Chemical Kinetics and Dynamics*, Prentice Hall, (1989).
- [43] P. Dunfield, R. Knowles, *A.E.M. Aug.* 61(1995) 3129.
- [44] P.J. Stimac, J.R. Barker, *J. Phys. Chem. A*, 112 (2008) 2553.
- [45] R. Slmonaitls, J. Helcklen, *J. Phys. Chem.*, 85 (1981) 2946.
- [46] P. Atkins, J. de Paula, *Atkins'Physical Chemistry*, ath(ed), Oxford University, (2006).
- [35] A. Monari, G.L. Bendazzoli, S. Evangelisti, C. Angeli, N. Ben Amor, S. Borini, D. Maynau and E. Rossi, *J. Chem. Theory Comput.*, 3 (2007) 477.
- [36] J. Garza, J. Z. Ramí'ez, and R. Vargas, *J. Phys. Chem. A*, 109 (2005) 643.
- [37] N.X. Wang, K. Venkatesh and A. K. Wilson, *J. Phys. Chem. A*, 110 (2006) 779.
- [38] J.F. Schindler, P.A. Naranjo, D.A. Honaberger, C.H. Chang, J.R. Brainard, L.A. Vanderberg, C.J. Unkefer, *Biochemistry*, 38 (1999) 5772.
- [39] Y. Tarchouna, M. Bahri, N. Jidane, Z.B. Lakhdar, *J. Mole. Stru. (TheoChem)*, 758 (2006) 53.
- [40] A.M. El-Nahas, T. Uchimatu, M.Sugie, K. Tokuhashi, A.Sekiya, *J. Mole. Stru. (TheoChem)*, 722 (2005) 9.